

بِسْمِ اللّٰهِ الرَّحْمٰنِ الرَّحِيْمِ



مؤسسه آموزش عالی غیر دولتی غیر انتفاعی انرژی  
 بهینه سازی حذف نیترات به کمک فرآیند تبادل یونی با استفاده از تکنیک رویه سطح  
 پاسخ

پایان نامه برای دریافت درجه کارشناسی ارشد  
 در رشته مهندسی شیمی گرایش بهداشت، ایمنی و محیط زیست

نام دانشجو:

حمیدرضا فرنگی

استاد راهنما:

دکتر آرزو غفاری

اساتید مشاور:

دکتر حیدرمداح

دکتر محسن رضایی آدریانی

مهرماه ۱۳۹۸

## تأییدیه‌ی صحت و اصالت نتایج

با اسمه تعالی

اینجانب حمیدرضا فرنگی به شماره دانشجویی ۹۶۱۳۵۲۹۰۰۸ دانشجوی رشته مهندسی شیمی گرایش بهداشت، ایمنی و محیط زیست مقطع تحصیلی کارشناسی ارشد تأیید می‌نمایم که کلیه‌ی نتایج این پایان‌نامه/رساله حاصل کار اینجانب و بدون هرگونه دخل و تصرف است و موارد نسخه‌برداری شده از آثار دیگران را با ذکر کامل مشخصات منع ذکر کرده‌ام. در صورت اثبات خلاف مندرجات فوق، به تشخیص دانشگاه مطابق با ضوابط و مقررات حاکم (قانون حمایت از حقوق مؤلفان و مصنفان و قانون ترجمه و تکثیر کتب و نشریات و آثار صوتی، ضوابط و مقررات آموزشی، پژوهشی و انسباطی ...) با اینجانب رفتار خواهد شد و حق هرگونه اعتراض درخصوص احراق حقوق مکتب و تشخیص و تعیین تخلف و مجازات را از خویش سلب می‌نمایم. در ضمن، مسؤولیت هرگونه پاسخگویی به اشخاص اعم از حقیقی و حقوقی و مراجع ذی‌صلاح (اعم از اداری و قضایی) به عهده‌ی اینجانب خواهد بود و دانشگاه هیچ‌گونه مسؤولیتی در این خصوص نخواهد داشت.

نام و نام خانوادگی:

امضا و تاریخ:

## مجوز بهره برداری از پایان نامه

بهره برداری از این پایان نامه در چهار چوب مقررات کتابخانه و با توجه به محدودیتی که توسط استاد راهنما به شرح زیر تعیین می شود، بلامانع است:

- بهره برداری از این پایان نامه / رساله برای همگان بلامانع است.
- بهره برداری از این پایان نامه / رساله با اخذ مجوز از استاد راهنما، بلامانع است.
- بهره برداری از این پایان نامه / رساله تا تاریخ ..... ممنوع است.

نام استاد یا اساتید راهنما:

تاریخ:

امضا:

## **چکیده:**

آب‌های زیرزمینی مرسوم ترین منبع آب آشامیدنی در بسیاری از نقاط جهان هستند. با این حال، در چند دهه گذشته، افزایش نگرانی در مورد کیفیت آبهای زیرزمینی به دلیل وجود آلودگی‌های سمی مانند نیترات که یک یون بسیار حل شونده و پایدار در آب است را شاهد هستیم. بنابراین، برای حذف کارآمد آن از آب، از روش‌هایی همچون جذب، تبادل یونی، اسمز معکوس و فرآوری بیولوژیکی و بعضی از تکنیک‌ها استفاده می‌گردد. در این پژوهش، بهینه سازی عملکرد و راندمان حذف یون نیترات با استفاده از روش رویه سطح پاسخ انجام شده است. به عبارت دیگر مقدار درصد حذف نیترات به عنوان پارامتر خروجی توسط مدل پیش‌بینی گردیده است. بدین منظور از داده‌های آزمایشگاهی جهت ایجاد مدل چند جمله‌ای درجه ۲ استفاده شده است. نتایج آزمایشگاهی با نتایج مدل همبستگی بسیار خوبی داشته‌اند که ضریب همبستگی  $0.999$  گزارش می‌گردد.

## **واژه‌های کلیدی:**

بهینه سازی - تبادل یونی - رویه سطح پاسخ - حذف نیترات

# فهرست مطالب

فصل ۱: کلیات پژوهش	
۱	۱-۱- مقدمه
۵	۲-۱- ضرورت انجام پژوهش
۵	۳-۱- هدف تحقیق
۶	۴-۱- سوالات پژوهش
۷	فصل ۲: شرحی بر ادبیات تحقیق
۸	۱-۲- مقدمه
۸	۲-۲- مروری بر کارهای گذشته
۱۵	فصل ۳: روش شناسی تحقیق
۱۶	۱-۳- مقدمه
۱۶	۲-۳- ستون‌های تعویض یون
۱۹	۳-۳- تئوری‌ها و مدل‌ها
۱۹	۱-۳-۳- تئوری‌های تعادلی
۲۰	۲-۳-۳- تئوری‌های سرعت
۲۱	۳-۳-۳- تجزیه و تحلیل داده‌ها
۲۱	۱-۳-۳-۳- انطباق داده‌های تجربی با معادلات تئوری
۲۱	۲-۳-۳-۳- آنالیز شب نقطه میانی
۲۲	۳-۳-۳-۳- آنالیز نتایج حاصل از طول متغیر ستون
۲۳	۴-۳-۳- آنالیز آزمایش‌های کوپل
۲۲	۴-۳-۳- پیش‌گویی رفتار ستون و Scale up
۲۳	۵-۳-۳- عملیات دوره‌ای ستون
۲۴	۶-۳-۳- اثرات هیدرودینامیکی
۲۴	۱-۶-۳-۳-۱- پخش گردابه‌ای
۲۴	۲-۶-۳-۳-۲- کانالیزه شدن
۲۵	۴-۴- مواد و روش‌ها
۲۶	۲-۴-۳- مطالعات جذب در حالت batch
۲۷	۴-۲-۴-۱- اثر دوز رزین
۲۸	۲-۲-۴-۲- اثر زمان تماس
۲۸	۴-۲-۴-۳- تأثیر غلظت اولیه نیترات
۲۹	فصل ۴: مدلسازی

۳۰	۱- مقدمه
۳۰	۲- نتایج و بحث
۳۰	۱-۲-۴ اثر دوز رزین
۳۱	۲-۲-۴ اثر زمان تماس
۳۲	۳-۲-۴ تأثیر غلظت نیترات اولیه
۳۳	۴-۳- نتایج مدل چند جمله‌ای درجه دو

## فصل ۵: نتیجه گیری

۴۳	۱- مقدمه
۴۴	۲- جمع بندی
۴۴	۳- پیشنهادات
۴۵	

## مراجع

۴۷	
۵۱	پیوست

## فهرست اشکال

..... ۴	شكل (۱-۱) شماتیک داده‌های ورودی و نحوه بهینه سازی به کمک RSM
..... ۱۷	شكل (۱-۳) الف- عملکرد ستون تعویض یون در سه ناحیه مجزا از هم
..... ۱۸	شكل (۲-۳) تغییرات غلظت در خروجی
..... ۲۷	شكل (۳-۳) ستاپ آزمایشگاهی فرآیند جذب و احیای نیترات در حالت ناپیوسته
..... ۳۰	شكل (۱-۴) اثر مقدار رزین بر حذف نیترات از محلول آبی
..... ۳۲	شكل (۲-۴) تاثیر زمان تماس بر راندمان حذف نیترات
..... ۳۳	شكل (۳-۴) حداکثر ظرفیت جذب نیترات Relite A۴۹۰ و Duolite A۷
..... ۳۵	شكل (۴-۴) الف) نمودار درصد حذف نیترات برای داده واقعی و مدل ب) نمودار خطای مطلق
..... ۳۶	شكل (۵-۴) رویه درصد حذف بر حسب زمان تماس و مقدار رزین Relite A۴۹۰
..... ۳۷	شكل (۶-۴) کانتور درصد حذف بر حسب زمان تماس و مقدار رزین Relite A۴۹۰
..... ۳۸	شكل (۷-۴) رویه درصد حذف بر حسب زمان تماس و مقدار رزین Relite A۴۹۰
..... ۳۹	شكل (۸-۴) کانتور درصد حذف بر حسب زمان تماس و مقدار رزین Relite A۴۹۰
..... ۴۰	شكل (۹-۴) رویه درصد حذف بر حسب زمان تماس و مقدار رزین Relite A۴۹۰
..... ۴۱	شكل (۱۰-۴) کانتور درصد حذف بر حسب زمان تماس و مقدار رزین Relite A۴۹۰
..... ۴۲	شكل (۱۱-۴) درصد حذف برای ۲ مقدار رزین Relite A۴۹۰ برای غلظت نیترات اولیه مختلف

## فهرست جداول

جدول (۱-۱) داده های ورودی به مدل جهت پیش بینی میزان درصد حذف نیترات.....	۴
جدول (۱-۳) خصوصیات فیزیکی و شیمیایی رزین های A۴۹۰ و Relite A۷	۲۵
جدول (۱-۴) پارامترها و ضرایب تعیین مدل سیتیک شبه مرتبه دوم خطی.....	۳۳
جدول (۲-۴) ضرایب معادله رگرسیونی چند جمله ای درجه دوم مربوط به جذب نیترات.....	۳۴
جدول (۳-۴) شاخص های سنجش دقت مدل چند جمله ای درجه دوم جهت پیش بینی درصد حذف نیترات.....	۳۵

**فصل ۱:**  
**کلیات پژوهش**

## ۱-۱- مقدمه

نیترات به عنوان یکی از شاخص های شیمیایی آلودگی آب مطرح است که با استفاده از روش های فیزیکی - شیمیایی و بیولوژیکی می توان آن را حذف نمود . در این پژوهش عملکرد سیستم تبادل یونی در حذف نیترات بررسی می گردد.

غلظت بالای نیترات در آب های سطحی و زیرزمینی، نتیجه ترکیب زمین شناسی خاک یا فعالیت انسانی است. افزایش غلظت نیترات در آب آشامیدنی، خطر جدی برای سلامتی انسان محسوب می شود که موجب ناهنجاری هایی مانند رشد سرطان در سیستم هاضمه انسان می گردد، در حالی که مصرف بیش از حد نیترات از طریق آب آشامیدنی می تواند باعث ایجاد متهموگلوبینمیا در نوزادان شود. علاوه بر این، حضور نیترات در آبخوان ها و سفره های آب می تواند باعث مردابی شدن و منجر به رشد جلبک ها و کاهش اکسیژن محلول شود. کودهای طبیعی و شیمیایی در تولید محصولات کشاورزی، تولید مواد شوینده، تخلیه غیرمجاز پسماندها و فاضلاب شهری و زباله های صنعتی، به عنوان منابع اصلی حضور نیترات در منابع آب شناسایی شده است. نیترات یک یون پایدار و بسیار حل شونده است که با روش های تصفیه آب معمولی مانند انعقاد و انجمام، به سختی برطرف می شود. تبادل یونی، روشی برای حذف نیترات از آب است. در این تحقیق امکان حذف نیترات از آب با استفاده از مبدل های یونی تجاری A7 Duolite و A4۹۰ مورد بررسی قرار گرفته است. تأثیر غلظت اولیه نیترات، زمان تماس و جرم مبدل یونی مورد بررسی قرار گرفته است.

آبهای زیرزمینی مرسوم ترین منبع آب آشامیدنی در بسیاری از نقاط جهان هستند. با این حال، در چند دهه گذشته، افزایش نگرانی در مورد کیفیت آبهای زیرزمینی به دلیل وجود آلودگی های سمی مانند آنیون های معدنی، یون های فلزی، مواد شیمیایی آلی مصنوعی و غیره وجود دارد.

نیترات یک یون بسیار حل شونده و پایدار در آب است. بنابراین، برای حذف کارآمد آن از آب، از روش هایی قبیل جذب، تبادل یونی، اسمز معکوس و فرآوری بیولوژیکی و بعضی از تکنیک ها استفاده شده است. برخی از این روش ها دارای هزینه های عملیاتی بالایی هستند [۱]

فرایند تبادل یون به دلیل سادگی، کارآیی و هزینه نسبتاً ارزان قیمت، مناسب ترین روش تامین و تصفیه آب است. چندین رزین انتخابی نیترات وجود دارد که اثبات شده است که

بهینه سازی حذف نیترات به کمک فرآیند تبادل یونی با استفاده از تکنیک رویه سطح پاسخ کلیات پژوهش

تشابه با یون های  $\text{NO}_3^- > \text{SO}_4^{2-} > \text{Cl}^- > \text{HCO}_3^-$  دارند.

فرآیند تبادل یونی شامل عبور آب نیترات دار از طریق یک بستر رزین حاوی رزین های مبدل آنیونی پایه قوی است که در آن یون های نیترات با کلراید مبادله می شوند تا زمانی که رزین خالی شود در این پژوهش، خواص جذب A7 و Duolite A490 برای حذف نیترات مورد بررسی قرار گرفته است.

سطح نیترات در آب آشامیدنی زیر ۵۰ میلی گرم در لیتر توصیه می شود به ویژه برای کودکان و نوزادان زیرا سیستم گوارشی آنها هنوز نابالغ است. وجود نیترات و نیتریت در آب آشامیدنی احتمال ابتلا به بیماری متهموگلوینیما و یا سندرم کودک آبی می شود. از عوارض دیگر استفاده از نیترات در مدت زمان طولانی می توان کاهش اسیدیته معده ، کمبود آنزیم های خون ، کاهش هموگلوبرین های طبیعی خون ، افسردگی ، تأثیربر سیستم عصبی و زمانیکه غلظت آن بالای ۷۰٪ باشد سبب مرگ خواهد شد.

از روش های مختلف در تصفیه آب روش اسمز معکوس و رزین های تبادل کننده یون کارآمدترین روش برای حذف نیترات و ترکیبات حاوی نیترات در آب است. نیترات موجود در منابع آبی را می توان با رزین های تبادل یونی آنیونی قوی حذف کرد.

تبادل یون یک واکنش دو طرفه و برگشت پذیر است که در آن یون های موجود در یک محلول با یون های دارای بار الکتریکی مشابه موجود در روی رزین مبادله می شوند. نیترات در آب از بار منفی برخوردار است بنابراین می توان آن را توسط رزین های آنیونی از آب حذف نمود. رزین های تبادل کننده یونی پس از استفاده احتیاج به بازسازی دارند زیرا این مبادله کننده های یون پس از هر بار استفاده دچار رسوب جدی می شوند و احتیاج دارند تا با مواد شیمیایی خاص تمیز و احیا شوند تا دوباره بتوانند مورد استفاده قرار گیرند.

مواد شیمیایی که برای احیا و بازسازی رزین ها استفاده می شود عبارتند از کلرید سدیم نمک طعام، کلرید پتاسیم ، اسید سیتریک و دی اکسید کلر. در این عمل با استفاده از یک محلول که دارای یون های از دست رفته رزین به مقدار کافی می باشد، رزین دوباره به فرم فعال اولیه تبدیل می شود اما مقداری از ظرفیت تبادل خود را از دست می دهد، به طور کلی هر چه ظرفیت یون بیشتر باشد با تمايل بیشتری جذب رزین می گردد . بنابراین یون سه ظرفیتی و یون دو ظرفیتی پیش از یون یک ظرفیتی توسط رزین جذب می شود. حتی برای یون های با ظرفیت یکسان نیز ضریب گزینش متفاوت است و اغلب هر چقدر وزن مولکولی بیشتر باشد و یا اندازه یون کوچکتر گردد، تمايل به جذب افزایش می یابد. وجود ضریب گزینش

باعث می شود که یون ها به طور یکسان جذب رزین نشوند. در نتیجه وقتی که نیترات یون موردنظر برای حذف باشد، قبل از آن به طور اجتناب ناپذیری فسفات و سولفات مبادله شده زمانی نیترات مبادله می گردد که دیگر یون های مذکور به صورت آزاد وجود نداشته باشند. در سال های اخیر رزین هایی ساخته شده اند که نسبت به نیترات قابلیت جذب بیشتری دارند و به آنها رزین های انتخابی می گویند. برای افزایش ضریب گزینش نیترات در این نوع رزین ها، طول زنجیره های استری افزایش یافته تا ظرفیت نیترات برای احیا زنجیره ها بیشتر شود. اما با افزایش طول این زنجیره، ظرفیت حجمی رزین کاهش می یابد، بنابراین رزین های انتخابی در فواصل زمانی کوتاه تری نسبت به رزین های معمولی نیاز به احیا دارند.

رزین تبادل یونی A7 duolite و A490 رزین با پایه آنیونی قوی با منافذ درشت است که مخصوص فرآیندهایی است که جهت حذف نیترات از آب آشامیدنی طراحی می شوند. میل ترکیبی این ماده (رزین) با نیترات بیشتر از سولفات بوده و آنیون های موجود در رزین جایگزین نیترات موجود در آب می شوند.

این رزین با داشتن منافذ درشت ماتریس در ساختار خود دارای قابلیت ویژه ای است که برای حذف نیترات از آب آشامیدنی و فاضلاب های شهری مورد استفاده قرار می گیرد. این نوع مبادله کننده یون مناسب برای حذف نیترات حتی زمانی که غلظت نیترات در آب بالا و همچنین در حضور یون سولفات استفاده می شود. به همین دلیل این نوع رزین در برنامه های کاربردی تصفیه آب و فاضلاب از نیترات و ترکیبات حاوی نیترات در مقایسه با سایر رزین های استاندارد دارای عملکرد بهتری است.

استفاده از رزین های تبادل یونی مؤثرترین، بهترین و مطمئن ترین روش جهت حذف نیترات از آب های آشامیدنی است که این فناوری شامل حذف نیترات و جایگزینی آن توسط آنیون های دیگر است. در ایالات متحده آمریکا در استانداردها و قوانین مخصوص آب آشامیدنی حد قابل قبول نیترات در آب حدود ۴۵ میلی گرم بر لیتر توصیه شده است.

عموم تبادل یونی در راکتورهای ناپیوسته متوالی و در راکتور با بستر پر شده مورد بررسی قرار می گیرد. استفاده از رزینهای تبادل یونی که یک فرآیند فیزیکی شیمیایی شناخته شده است در مقیاس بزرگ بسیار متداول بوده و بیش از هر روش دیگری کاربرد دارد. تنها عیب این روش تولید پسابی با غلظت بالای نیترات و سولفات و نمک کلرید سدیم است که دفع آن مشکلات عدیده ای به همراه دارد.

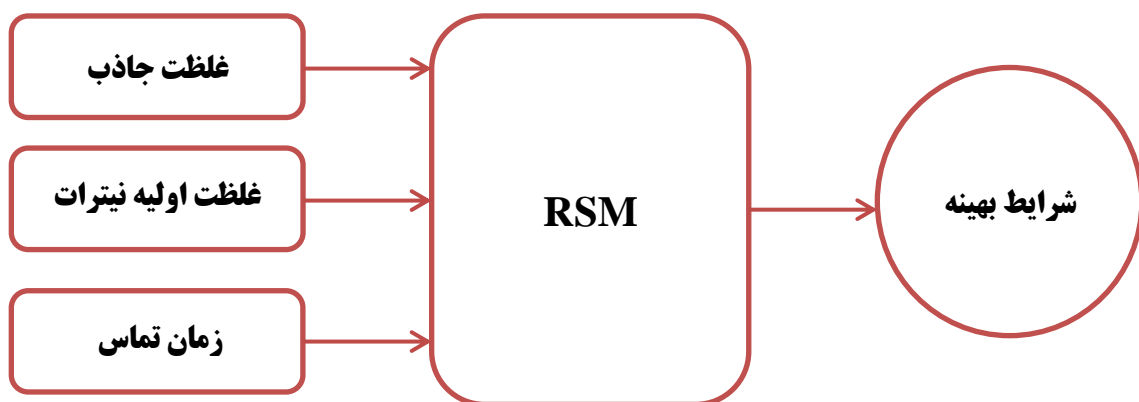
در این پژوهش مدلسازی ریاضی حذف نیترات از محلول های آبی به کمک مدل درجه دوم

انجام خواهد گرفت. سپس به کمک تکنیک رویه سطح به بهینه سازی حذف نیترات پرداخته میشود. تکنیک رویه سطح پاسخ یکی از روش‌های زیر مجموعه بهینه سازی است که به کمک مدل چند جمله‌ای درجه ۲ و به کمک داده‌های آزمایشگاهی، به بهینه سازی میپردازد. در این پژوهش، همچنین اثرات غلظت نیترات اولیه، زمان و دوز جاذب مورد بررسی قرار می‌گیرند.. متغیر وابسته درصد حذف نیترات می‌باشد. در جدول (۱-۱) متغیرهای ورودی مدلسازی و پارامتر خروجی به اختصار نشان داده شده است.

جدول (۱-۱) داده‌های ورودی به مدل جهت پیش‌بینی میزان درصد حذف نیترات

غلظت جاذب	داده‌های ورودی
غلظت اولیه نیترات	
زمان تماس	
میزان حذف یون نیترات	داده خروجی

در شکل (۱-۱) متغیرهای ورودی و خروجی مدلسازی حذف یون نیترات به روش تبادل یونی به کمک تکنیک رویه سطح پاسخ نشان داده شده است.



شکل (۱-۱) شماتیک داده‌های ورودی و نحوه بهینه سازی به کمک RSM

## ۱-۲- ضرورت انجام پژوهش

یکی از مشکلات بهداشتی کشورهای در حال پیشرفت، برخوردار نبودن از آب آشامیدنی سالم است. از آنجایی که محور توسعه پایدار، انسان سالم است و سلامت انسان درگرو بهره مندی از آب آشامیدنی مطلوب است، بدون تامین آب سالم، سلامت و رفاه جامعه تضمین نمی شود. آب از دو بعد بهداشتی و اقتصادی اهمیت دارد. از بعد بهداشتی تضمین کننده سلامتی انسان و از بعد اقتصادی محرک چرخ صنعت و رونق بخش کشاورزی است. طبق آمار برنامه عمران سازمان ملل متحد در سال ۲۰۰۶ یک میلیارد نفره آب آشامیدنی و ۲ میلیارد نفره آب کافی برای بهداشت دسترسی ندارند، ۷۰۰ میلیون نفر در ۴۳ کشور با مشکل کمبود پیوسته آب مواجه هستند و ۱۸ میلیون کودک زیر ۵ سال هر روز از ابتلا به اسهال به علت آشامیدن آب ناسالم می میرند. آب آثار زیادی در میان جانداران به ویژه انسان دارد، علاوه بر تامین مایع مورد نیاز بدن، دربردارنده اصلاح و عناصر ضروری است که کمبود آنها موجب اختلال در بدن و بیماری می شود. فقدان ید و فلوئور و ارتباط آنها به ترتیب با گواتراندیمیک و پوسیدگی دندان بیان کننده این اهمیت است. علاوه بر مواد شیمیایی، موجودات ذره بینی موجود در آب بیماری های عفونی خطرناکی ایجاد می کنند. بهسازی آب رابطه مستقیمی با کاهش بیماری های عفونی دارد.

آب آشامیدنی: آبی است که ویژگی های فیزیکی، شیمیایی، بیولوژیکی و رادیواکتیو آن در حدی باشد که آشامیدن آن عارضه ای در کوتاه یا بلند مدت برای سلامتی انسان ایجاد نکند. حداکثر مطلوب: عبارت است از حداکثر غلظتی از مواد که برای آب آشامیدنی مناسب تشخیص داده می شود. چنانچه آب حاوی موادی در غلظت بالاتر از حداکثر مطلوب باشد، از نظر کیفیت در حد پایین تری قرار دارد، اما هنوز قابل آشامیدن است. حداکثر مجاز: اگر غلظت مواد موجود در آب از حد مجاز عبور کند، آب برای آشامیدن مناسب نمی باشد و مصرف مداوم آن در بلند مدت، اثرات زیان آوری بر سلامت مصرف کننده باقی خواهد گذاشت.

## ۱-۳- هدف تحقیق

مهمنترین هدف این پژوهش، بهینه سازی عملکرد و راندمان حذف یون نیترات با استفاده از روش رویه سطح پاسخ است. به عبارت دیگر مقدار درصد حذف نیترات به عنوان پارامتر خروجی توسط مدل پیش‌بینی می شود. بدین منظور از داده‌های آزمایشگاهی جهت ایجاد مدل

بهینه سازی حذف نیترات به کمک فرآیند تبادل یونی با استفاده از تکنیک رویه سطح پاسخ کلیات پژوهش

چند جمله ای درجه ۲ استفاده خواهد شد. از جمله اهداف فرعی این پژوهش، آنالیز حساسیت برای هر کدام از متغیرهای مستقل بر روی درصد حذف نیترات میباشد. که بعد از مدل کردن داده ها انجام میشود.

هدف کاربردی پژوهش ارائه یک مدل بهینه در صنعت آب به منظور طراحی یک واحد بهینه جهت حذف یون نیترات از آب آشامیدنی در یک پکیج تبادل یونی است

## ۱-۴- سوالات پژوهش

سوالات اصلی تحقیق به شرح زیر است:

- ۱ آیا مدل رویه سطح پاسخ می‌تواند عملکرد یک واحد حذف نیترات به روش تبادل یونی را به درستی تخمین بزند؟
- ۲ متغیرهای مستقل مساله (غلظت اولیه نیترات- غلظت جاذب- زمان) چه نقشی در راندمان و درصد حذف نیترات دارند؟
- ۳ شرایط بهینه حذف نیترات به چه صورت است؟

**فصل ۲:**  
**شرحی بر ادبیات تحقیق**

## ۱-۲ - مقدمه

تبادل یونی به دلیل راندمان بالا، بهره‌برداری آسان و هزینه نسبتاً پایین، به عنوان یکی از بهترین و عملی‌ترین روش‌های حذف نیترات از مخازن آبی شناخته می‌شود<sup>[۲-۴]</sup>. رزین‌های تبادل آئیونی مرسوم معمولاً ترتیب انتخاب‌پذیری یونی  $\text{NO}_3^- > \text{SO}_4^{2-} > \text{HCO}_3^- > \text{Cl}^-$  دارند در نتیجه نیترات زدایی از آب با غلظت سولفات بالا می‌تواند دشوار باشد، زیرا ظرفیت رزین توسط سولفات کاهش پیدا می‌کند. علاوه بر این، در این نوع رزین‌ها اگر سولفات جایگزین نیترات شود ممکن است از دیداد<sup>۱</sup> و دفع و رهاسازی<sup>۲</sup> نیترات اتفاق بیفتد [۶-۲]

افزایش غلظت نیترات در محیط زیست می‌تواند موجب خسارات زیادی به انسان و زندگی آبزیان شود. مرسوم ترین منابع نیترات در آبهای سطحی و زیرزمینی عمدهاً از پسماندهای انسانی و حیوانی و استفاده از کود ایجاد می‌شود. علاوه بر این، فاضلاب‌های شهری و صنعتی که بر روی زمین تخلیه می‌شوند، باعث افزایش غلظت نیترات می‌شوند. غلظت نیترات بالا می‌تواند رشد جلبک‌های سنگین را با استفاده از مردابی شدن در آب‌های بدون حرکت ایجاد کند. پس از مصرف آب و یا گیاهان با غلظت نیترات بالا، مسمومیت حاد در گاوها ممکن است در عرض چند ساعت رخ دهد.

در انسان، غلظت نیترات بالا می‌تواند باعث ایجاد متهماً گلوبینمیا در نوزادان و تشکیل نیتروسامین‌های سرطانی شود. با در نظر گرفتن عواقب جدی ناشی از غلظت بالای نیترات در آب برای مصرف انسانی، سازمان‌های مختلف نظارتی محیطی حداقل میزان آلودگی ۵۰ میلی گرم در لیتر مقدار نیترات (NO<sub>3</sub>) را در آب برای مصرف انسان تعیین کرده‌اند.

## ۲-۲ - مروری بر کارهای گذشته

از تحقیقاتی که تاکنون در زمینه حذف نیترات به روش‌های اسمز معکوس و تبادل یونی در دنیا انجام شده می‌توان به موارد زیر اشاره نمود: حذف نیترات از آب آشامیدنی، با استفاده از رزین تبادل یونی SBA توسط شهبازی [۷] در دانشگاه تهران انجام شد. در این تحقیق از دو پایلوت با اندازه‌های متفاوت در حذف نیترات استفاده شد. دو پایلوت، از نظر مقدار رزین و نوع رژیم جریان، با هم متفاوت

<sup>۱</sup> peaking

<sup>۲</sup> dumping

است. همچنین در این تحقیق، حذف نیترات با استفاده از رزین آنیونی در شرایط حضور سایر آنیونها نظیر سولفات و کلرید با دبی متغیر مورد بررسی قرار گرفت و مشخص شد که این سیستم قادر است، در حضور سولفات بالغه ۸۰۰ میلیگرم بر لیتر مقدار حذف نیترات و سولفات را تا حد مجاز کاهش دهد. حذف نیترات از آب آشامیدنی، به دو روش تبادل یونی با استفاده از دو نوع پرولیت <sup>۸</sup> دنیتریفیکاسیون، توسط هاشمی [۸] در دانشگاه تهران انجام شد. نتایج تحقیق نشان داد که، نوع رزین در مقدار حذف نیترات و سولفات موثر است و با افزایش سولفات، کارایی رزینها کاهش می یابد، ولی رزینهای انتخابگر نیترات، نسبت به رزینهای آنیونی معمولی در غلظت های بالا، سولفات و نیترات را به میزان بیشتری جذب می نمایند.

نیترات زدایی از آب شهر مشهد، توسط گلزار [۹] انجام شد. این پایلوت از سه قسمت تشکیل شده بود. ستون فیلتر شنی تحت فشار، ستون تبادل یونی، ستون جاذب حاوی کربن فعال. جهت سیستم تبادل یونی از دو نوع رزین لواتیت و دوالیت استفاده شد و در بررسی مشخص شد که، رزین لواتیت، از راندمان بالاتری برخوردار است. همچنین گلزار از سیستم اسمز معکوس برای حذف نیترات از آب آشامیدنی استفاده نمود. با استفاده از این دستگاه او توانست سطح نیترات را از ۹۴ به ۱۸ میلیگرم بر لیتر برساند. راندمان حذف نیترات در این روش در حدود ۸۰ درصد است.

در تحقیقی که توسط شرکت کالیگان صورت گرفت، از دستگاه اسمز معکوس جهت نیترات زدایی آب شهر کانزاس استفاده شد. با استفاده از این دستگاه، سطح نیترات به مقدار قابل توجهی کاهش یافت. کلیفورنیا، جهت حذف نیترات از روشهای تبادل یونی و اسمز معکوس استفاده نمود. آنها توانستند بطور موقیت آمیزی به کمک این دو روش یونهای نیترات را مقدم بر یون سولفات حذف کنند. با استفاده از روش تبادل یونی پیوسته در آمریکا حذف نیترات توسط شرکت گرمر بررسی شد. این سیستم قادر بود که، سالانه یک میلیون گالن آب را نیترات زدایی نموده و سطح نیترات را از ppm ۱۳ به ppm ۵ کاهش دهد. شرکت انگلیان واتر نیز، با استفاده از تکنولوژی تبادل یونی، نیترات را حذف نمود. نیترات محلول در آب، با عبور از رزینهای تبادلگر انتخابگر نیترات که، به صورت پکیج ساخته شده بود، حذف شد. در این سیستم، غلظت نیترات به میزان ۶۰ درصد کاهش یافت. [۱۰]

مندو و همکارانش در سال ۲۰۱۷ یک کاتالیزور پالادیم و مس در رزین تبادل آنیون با منافذ درشت به منظور حذف نیترات به کار برdenد. آنها عملکرد کاتالیزور را در یک راکتور بستر ثابت مورد بررسی قرار دادند فرآیند آنها از دو بخش تشکیل شده بود. قسمت اول یک واکنش و بخش دوم یک تبادل یونی بود. نتایج آنها نشان داد حضور یونهای رقابت (سولفات، بی کربنات، کلرید) به کاهش در راندمان حذف نیترات منجر خواهد شد. [۱۱]

زنونشگ و همکارانش در سال ۲۰۱۷ نانو ذرات آهن (NZVI) را به صورت گستردۀ برای کاهش نیترات در آب مورد بررسی قرار دادند. با این حال، کاهش توسط این نانو ذرات نیاز به شرایط pH اسیدی دارد و معضلات بعدی استفاده از نانو ذرات باعث می‌شود استفاده از آنها محدود گردد. آلومینیوم، عنصر فلزی فراوان در پوسته زمین است که قادر به کاهش نیترات است، بمنظور استفاده از آن باید آلومینیوم را به حالت فعال در آورد. نتایج آن‌ها در حذف نیترات از آب به کمک ذرات آلومینیوم فعال بسیار رضایت‌بخش بود [۱۲]

گلستانی فر و همکاران آزمون حذف نیترات از آب‌های زیرزمینی را توسط پودر آلومینیوم با مشی ۱۰۰ - ۲۰۰ انجام دادند. نتایج حاکی از آن بود که در  $pH = 2$  و زمان ۵ دقیقه و غلظت ۱۰۰ میلی گرم در لیتر نیترات ۵۲ درصد حذف انجام شده است. با افزایش آلومینیوم از  $0.5$  به ۱ میلی گرم بر لیتر کارایی ۲۰ درصد افزایش یافته است [۱۳]

در پژوهشی توسط محجوبی عملکرد ابزارهای مختلف داده کاوی؛ شامل الگوریتم‌های شبکه عصبی پرسپترون چند لایه، شبکه عصبی تابع پایه شعاعی و ماشین‌های بردار حامی در حوزه شبکه‌های عصبی؛ و از الگوریتم‌های درختان دسته‌بندی، رگرسیونی و درختان مدل در حوزه درختان تصمیم‌گیری در شبيه سازی دو پدیده مدیریت کيفی منابع آب مورد سنجش قرار گرفته است. در اين راستا ابتدا توانايی مدل‌ها در شبيه سازی تغييرات شوري به عنوان يك مسئله تقربياً خطى بررسى و سپس به مدل‌سازی پدیده كاملًا غير خطى تبخير پرداخته شده است. بدین منظور از اطلاعات ايستگاه‌های هييدرومتری و تبخير سنجي موجود در حوزه رودخانه کارون استفاده شده است. نتایج حاکی از عملکرد تقربياً مشابه روش‌های مختلف داده کاوی می‌باشد، به گونه‌ای که كليه الگوریتم‌های مورد استفاده با دقت مناسبی قادر به مدل‌سازی پدیده‌های شوري و تبخير در حوزه مطالعاتي هستند و تغيير در ابزار داده کاوی تفاوت چندانی در نتیجه حاصله نخواهد داشت. در اين ميان درختان تصمیم‌گیری و به خصوص الگوریتم درخت‌های مدل به دليل غير پارامتريک بودن و ارائه قوانين ساده، قابل تفسير و دقیق و نیز عدم نیاز به تحليل حساسيت و همچنین زمان اجرای بسيار کم مقبولیت بيشتری نسبت به سایر روش‌ها داشته است. البته الگوریتم‌های ماشین‌های بردار حامی نیز به دليل تقربياً غير پارامتريک بودن و عدم مشکل بيش برآش و دقت بسيار بالا و همچنین زمان اجرای کم مورد توجه قرار گرفته است. در بخش تخمين ميزان تبخير عملکرد ابزارهای داده کاوی با مدل‌های تجربی مقایسه شده، که نتایج حاصله بيانگر برتری ابزارهای داده کاوی است [۱۹].

محجوبی و تجربی در مقاله‌ای عملکرد دو الگوریتم شبکه عصبی مصنوعی پرسپترون چند لایه و درخت تصمیم‌گیری رگرسیونی در پيش‌بینی تغييرات شوري (كل مواد محلول) آب رودخانه کارون را

مورد بررسی قرار دادند و به این نتیجه رسیدند که  $MLP^1$  در مقایسه با الگوریتم  $CART^2$  در هر دو مرحله آموزش و ارزیابی از عملکرد بهتری برخوردار است [۱۴].

تكلیفی طی پژوهشی از روش شبکه عصبی در پیش بینی مقادیر  $TDS^3$  در رودخانه تلخه رود استفاده کرد. در این تحقیق حوزه آبریز رودخانه آجی چای (تلخه رود) از نظر شوری مورد مطالعه قرار گرفته است و بر روی دو ایستگاه هیدرومتری مرکید و ونیار با استفاده از روش شبکه عصبی مصنوعی و داده‌های پایش شده وزارت نیرو سعی شده است تا یک مدل پیش بینی کننده مناسب ایجاد شود که البته علاوه بر پیش بینی مقادیر آینده کل مواد محلول، میزان تغییرات آن بین دو ایستگاه مرکید تا ونیار را نیز مورد بررسی قرار داده، که نشان دهنده مشخصات مسیر و اثر آن روی کیفیت آب بین دو ایستگاه می‌باشد. جهت ایجاد یک مدل مناسب پیش بینی از دو شبکه عصبی مصنوعی، یکی استاتیکی چند لایه<sup>۴</sup> و دیگری شبکه عصبی دینامیکی از نوع بازگشتی<sup>۵</sup> به نام Elman استفاده شده است و این روش امکان تخمین  $TDS$  یک ماه بعد را با استفاده از دبی حال حاضر ایجاد می‌کند قابل توجه است که شبکه‌های عصبی دینامیکی نسبت به استاتیکی از دقت بیشتری برخوردارند و مدل پیش بینی دقیق‌تری به ما ارائه می‌دهند. از بررسی نتایج به دست آمده از این تحقیق و سنجش آن‌ها با معیار ضریب همبستگی، بهترین مقدار آن در ایستگاه ونیار و برابر  $R=0.9639$  به دست آمده است و می‌توان با استفاده از این مدل تغییرات شوری آب رودخانه تلخه رود را با دقت مناسبی تخمین زد و پیش بینی نمود [۱۵]

در مطالعه‌ای توسط کنعانی تخمین مقادیر شوری حوزه آبریز رودخانه‌ها، با شبکه عصبی مصنوعی مورد بررسی قرار گرفته است. در این تحقیق پیش بینی شوری با استفاده از پارامترهای موثر و شبکه‌های عصبی مدل نظر بوده است. حوزه آبریز رودخانه آجی چای و ایستگاه ونیار که یکی از ایستگاه‌های بسیار مهم این رودخانه می‌باشد، به عنوان منطقه مطالعاتی انتخاب شده‌اند. به منظور پیش بینی شوری از پارامترهای موثر دبی و کل املاح محلول به عنوان پیش بینی کننده و از شبکه‌های عصبی هم به عنوان ابزار شبیه سازی استفاده شده است. در این تحقیق از پارامتر دبی با تغییر زمانی ۲۴ ساعته و از پارامتر  $TDS^6$  با تأخیر زمانی یک ماه استفاده شده است. با انتخاب این پارامترها از شبکه‌های عصبی جهت پیش بینی استفاده شده است. در این راستا شبکه‌های پرسپترون چند لایه<sup>۷</sup> و شبکه‌های با ورودی تأخیر یافته به عنوان نمونه‌های از شبکه‌های عصبی استاتیکی و دینامیکی مورد بررسی قرار گرفته‌اند.

<sup>۱</sup> Multilayer Perceptron

<sup>۲</sup> Classification & Regression Trees

<sup>۳</sup> Total Dissolved Solid

<sup>۴</sup> MLP

<sup>۵</sup> Recurrent Neural Networks, RNN

<sup>۶</sup> Total Dissolved Solid

<sup>۷</sup> Multi Layer Preceptron

پارامترهای دبی با تأخیر زمانی ۲۴ ساعته و TDS با تأخیر زمانی یک ماهه به صورت دو پیش بینی کننده مستقل در مدل های شبکه عصبی به کار بسته شده و کارایی هر کدام در منطقه مطالعاتی سنجیده شده است. نتایج حاکی از قابلیت کلیه شبکه های عصبی مورد استفاده در پیش بینی شوری این منطقه می باشد. شبکه های دینامیکی به نسبت شبکه های استاتیکی از دقت بیشتری برخوردارند که این امر با توجه به طبیعت زمان مند مسئله پیش بینی شوری طبیعی به نظر می رسد. بهترین نتیجه با استفاده از شبکه IDNN<sup>۱</sup> و با پارامتر ورودی دبی به دست آمده است [۱۶]

اسدالله فردی و همکاران از شبکه عصبی پرسپترون چند لایه و شبکه عصبی بازگشتی برای تخمین آب استفاده کردند، مقایسه نتایج آنها نشان داد مقادیر پیش بینی شده شبکه عصبی Elman به مقادیر مشاهداتی نزدیکتر است [۱۷].

از جمله مهم ترین پارامترهای کیفیت آب، نسبت جذب سدیم است. سارانی و همکاران در سال ۲۰۱۲ در مطالعه ای با استفاده از پارامترهای کلر CL، شوری EC، قلیایی PH و کل مواد محلول TDS اندازه گیری شده به عنوان ورودی شبکه عصبی، نسبت جذب سدیم SAR ایستگاه سد کوهک واقع بر روی رودخانه سیستان را پیش بینی کرده و در نهایت با توجه به تمام مدل ها، شبکه عصبی با یک لایه پنهان و  $MSE=1.05$ ,  $R^2=0.92$ <sup>۲</sup> نتایجی بهتر از سایر مدل ها ارائه داده است. همچنین نتایج حاکی از عملکرد بهتر مدل شبکه عصبی نسبت به مدل رگرسیون می باشد [۱۸]

صفوی در مقاله ای ضمن بیان مبانی سیستم استنباط فازی - عصبی تطبیقی به منظور پیش بینی کیفی آبهای سطحی، کاربرد آن با مجموعه ای از داده های ۱۶ ساله اکسیژن محلول<sup>۳</sup> و اکسیژن مورد نیاز بیوشیمیایی<sup>۴</sup> از رودخانه زاینده رود را نشان داده است. در نهایت مقادیر پیش بینی شده به هنگام توسط مدل ها با مقادیر اندازه گیری شده مقایسه شد و نشان داده شد که سیستم استنباط فازی عصبی - تطبیقی در عملکرد مناسبی دارد. فرایند توسعه و ارزیابی سه نوع مدل سیستم استنتاج فازی - عصبی تطبیقی در پیش بینی BOD بر اساس مجموعه عوامل مؤثر در یک و دو ایستگاه قبل نشان داد که دبی، درجه حرارت و مقدار اکسیژن مورد نیاز بیوشیمیایی در یک و دو ایستگاه قبل با مقدار ضریب تبیین  $0.953$  در مرحله واسنجی و  $0.931$  در مرحله اعتبارسنجی مناسب ترین مدل و برای پیش بینی اکسیژن محلول عوامل سرعت، عمق، درجه حرارت، عرض در سطح آب و اکسیژن محلول در یک ایستگاه قبل با مقدار ضریب تبیین  $0.921$  در مرحله واسنجی و  $0.904$  در مرحله اعتبارسنجی، مناسب ترین مدل می باشد [۱۹].

کتعانی و همکاران پیش بینی کل مواد محلول (TDS) رودخانه آجی چای را با استفاده از شبکه های

<sup>۱</sup> Input Delay Neural Network

<sup>۲</sup> DO

<sup>۳</sup> BOD

عصبی مصنوعی پرسپترون چند لایه و شبکه عصبی با ورودی تأخیری (IDNN) انجام دادند، مطالعه آن‌ها نشان داد که پیش‌بینی شوری رودخانه با استفاده از شبکه عصبی مصنوعی معقول، مناسب و از دقت و صحت قابل قبولی برخوردار است [۲۰].

زارع و همکاران ۲۰۱۱ توانایی شبکه عصبی مصنوعی در مدل‌سازی نیترات آب‌های زیرزمینی آبخوان دشت اراك را مورد بررسی قرار دادند. روش‌های ANN و رگرسیون خطی (LR) را برای ارتباط غلظت نیترات آب‌های زیرزمینی با دیگر شاخص‌های کیفیت آب بررسی کردند، مقایسه نتایج آن‌ها نشان داد مدل ANN نیاز به پارامترهای کمتر و دارای دقت بیشتری در مقایسه با مدل LR می‌باشد [۲۱].  
کربوتویز و همکاران پیش‌بینی کیفیت آب پس از فرآیند انعقاد را به وسیله یک غشای غوطه‌ور شده با ساختارهای مختلف پرسپترون چند لایه با یک لایه پنهان انجام دادند. در ANN ایجاد شده آن‌ها PH، دما و نفوذ شار سیگنال‌های ورودی سیستم بوده و قادر به پیش‌بینی بسیار دقیق رفتار سیستم واقعی با خطای نسبی ضریب کدورت برابر  $2.16 \times 10^{-2}$  شده است [۲۲].

نوشادی و همکاران برخی از پارامترهای کیفی آب رودخانه زاینده رود را با سیستم شبکه عصبی مورد شبیه‌سازی قرار دادند، نتایج حاکی از پیش‌بینی عالی پارامترهای پتانسیم، کلسیم و منیزیم و پیش‌بینی خوب سدیم و سولفات می‌باشد [۲۳].

هوأنگ از شبکه عصبی مصنوعی پس انتشار با تغذیه مستقیم سه لایه استاندارد همراه با یک تابع انتقال غیر خطی Logsig در لایه پنهان برای ارزیابی تغییرات لحظه‌ای شوری بر مبنای میزان ورودی آب شیرین، جذر و مد و باد در رودخانه آپالاچیکولا در فلوریدا استفاده کردند. نتایج تحقیق آن‌ها حاکی از عملکرد مناسب شبکه‌های عصبی در ارتباط دادن نگاشتهای غیر خطی شوری با عوامل تأثیر گذار میزان ورودی آب شیرین، جذر و مد و باد می‌باشد. علاوه بر این مدل توسعه داده شده آن‌ها در مقایسه با مدل رگرسیون چند متغیره در پیش‌بینی میزان شوری در حد قابل قبولی تواناتر بوده و به لحاظ هزینه و زمان و سهولت استفاده برتری مناسبی داشته است [۲۴].

کریمی در پژوهه تحقیقاتی بررسی ضرورت اندازه گیری مستمر غلظت نیترات در آزمایشگاه‌های مطالعات منابع آب کشور را انجام دادند. هدف اصلی این تحقیق زیاد بودن غلظت نیترات ( $NO_3^-$ ) در مطالعات آب و در نتیجه ضرورت اندازه گیری مستمر آن به موازات سایر یون‌ها می‌باشد. در تحقیق انجام شده بیش از ۵۴۳۰ نمونه آب منابع مختلف استان کردستان به طور کامل (شامل نیترات و سایر یون‌ها) آنالیز گردیده و ثابت شده است که غلظت نیترات قابل توجه بوده است و گاهی صدها برابر بیشتر از غلظت بعضی از یون‌هایی است که همواره اندازه گیری شده‌اند. در این تحقیق نشان داده شده که تاکنون اندازه گیری غلظت نیترات مورد غفلت کامل قرار گرفته زیرا تصور شده که غلظت آن کم و

بهینه سازی حذف نیترات به کمک فرآیند تبادل یونی با استفاده از تکنیک رویه سطح پاسخ شرحی بر ادبیات تحقیق

قابل اغماض است و دلایل کافی برای تعمیم زیاد بودن غلظت نیترات در کل منابع آب کشور وجود دارد [۲۵].

## فصل ۳: روش شناسی تحقیق

### ۱-۳- مقدمه

در این فصل ابتدا به بررسی فرآیند تبادل یونی به کمک ستون های تبادل یونی پرداخته می شود. سپس به مواد و روش هایی مورد نیاز جهت انجام آزمایشات پرداخته می شود. بیشتر عملیات تبادل یون چه در آزمایشگاه و چه در مقیاس صنعتی در ستون های تعویض یون انجام می گیرد. ترکیب درصد خروجی ستون و تغییرات آن با زمان، به عوامل مختلفی نظیر ترکیب درصد و غلظت فید ورودی، طول ستون، فرم یونی رزین، ظرفیت رزین، خواص ماتریس، ، دبی، دما و غیره وابسته است.

واکنش در ستون های تعویض یون پیچیدگی خاص خود را دارد. تعویض یون، در عملیات غیر پیوسته تنها در ساده ترین حالات، به طور تحلیلی دارای جواب است. بنابراین یک تئوری جامع که واکنش را در این ستون ها به صورت کامل بیان کند وجود ندارد.

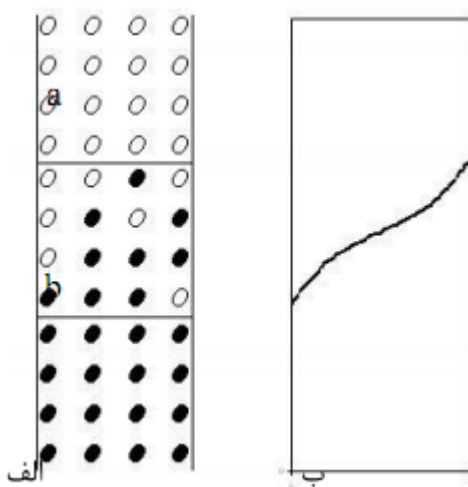
در عین حال، تعداد زیادی تئوری بر اساس روش های آزمایشگاهی و نیمه آزمایشگاهی وجود دارد که در موارد مختلف و بر اساس روش های نیمه تجربی متفاوت بسط یافته اند. انتخاب یکی از این تئوری ها برای پیش گویی تقریبی عملکرد ستون، نیازمند شناختی خوب از فاکتورهای مؤثر در فرآیند مورد نظر است، به طوری که این فاکتورها، به طور مناسب در تئوری مذکور دخالت داده شده باشند.

### ۲-۳- ستون های تعویض یون

می توان فرض کرد که رزین در ابتدا کاملاً به فرم A (کاتیون و آنیون) است و توسط یک محلول الکترولیت به فرم B تبدیل می شود. این تبدیل را می توان به چند روش انجام داد: نخستین راه تماس رزین با محلول الکترولیت به صورت ناپیوسته است. از آنجا که معمولاً تعادل تعویض یون قبل از حذف کامل A از رزین حاصل می شود. تبدیل کامل رزین به فرم B در یک فرآیند ناپیوسته میسر نیست و باید رزینی را که به طور جزئی تغییر فرم داده است، در یک سری از فرآیندهای ناپیوسته در تماس با محلول قرار داد.

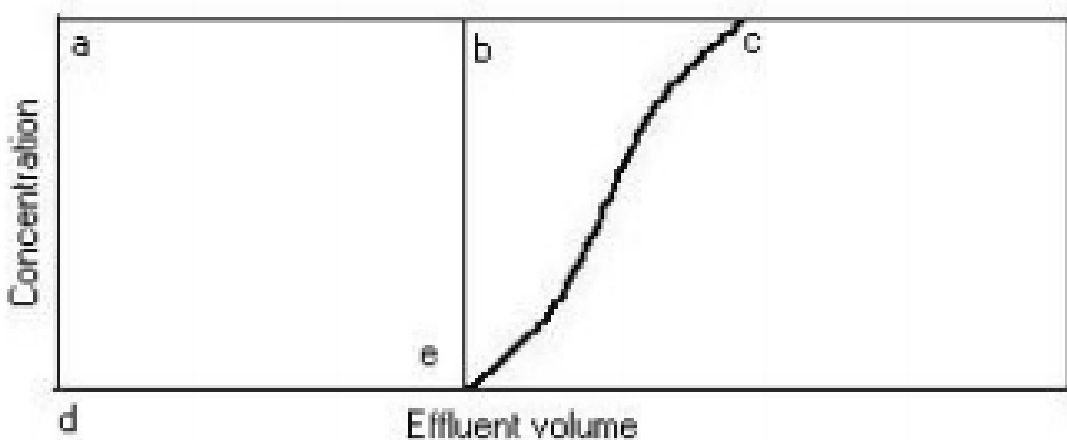
هنگامی که محلول از بالا به ستون وارد می شود، اولین لایه های رزین را به فرم B تبدیل می کند. حجم های بعدی که وارد این لایه های تبدیل شده می شوند، تأثیری در ترکیب درصد آن ندارند. همچنین یون های آزاد شده A که به لایه های تبدیل نشده وارد می شوند، بر ترکیب درصد آن اثری ندارند. با توجه به این امر، می توان یک ستون تعویض یون را در هر لحظه از زمان عملکرد آن به سه ناحیه مجزا تقسیم

کرد: در ناحیه a که موسوم به ناحیه مصرف شده است، هم رزین و هم محلول فاقد یون A هستند. در ناحیه c که ناحیه تبدیل نشده نام دارد، رزین و محلول، هر دو عاری از یون B هستند. در ناحیه b نیز که حد فاصل دو ناحیه a و c است و به عنوان ناحیه تعویض یون شناخته می‌شوند، رزین و محلول، هر دو دارای هر دو یون A و B هستند. در واقع در این ناحیه، یک تبدیل تدریجی رزین و محلول از یک فرم به فرم دیگر مشاهده می‌شود. این موضوع در شکل (۱-۳)، با ارائه تغییرات غلظت یون B در محلول، در طول ستون، نشان داده شده است. با ادامه عملکرد یک ستون، طول ناحیه a مرتب بیشتر و طول ناحیه c کمتر می‌شود. بر این اساس، ناحیه b با عملکرد ستون به پایین جابه‌جا می‌شود. در حالی که طول آن، در حالت کلی ثابت نیست و در بیشتر موارد افزایش پیدا می‌کند. به عبارت دیگر سرعت حرکت مرز b و c بیشتر می‌شود. در حالی که طول آن، در حالت کلی ثابت نیست و در بیشتر موارد افزایش پیدا می‌کند.



شکل (۱-۳) (الف)-عملکرد ستون تعویض یون در سه ناحیه مجزا از هم (ب)-تغییرات غلظت یون B در محلول در طول ستون

به عبارت دیگر سرعت حرکت مرز b و c بیشتر و یا حداقل برابر سرعت حرکت مرز a و b است. هنگامی که ناحیه c ناپدید می‌شود، یعنی ناحیه تعویض یون به پایین ستون می‌رسد، اولین یون‌های B (یون موجود در خوراک)، در خروجی ستون ظاهر می‌شوند که به تدریج و با گذشت زمان غلظت این یون افزایش می‌یابد تا به حد نهایی برسد. در عملیات صنعتی، زمانی که غلظت در خروجی به یک حد مجاز و مشخص برسد، معمولاً، عملیات ستون متوقف می‌شود. این نقطه از زمان (با حجم خروجی ستون) به نام نقطه شکست شناخته می‌شود.



شکل (۲-۳) تغییرات غلظت در خروجی

در بسیاری از موارد، این نقطه معمولاً زمان پدیدار شدن اولین یون‌های B در خروجی در نظر گرفته می‌شود. با این حال، برای در دست داشتن تغییرات کامل غلظت خروجی، عملیات آزمایشگاهی در نقطه شکست قطع نشده و تا رسیدن غلظت خروجی ستون به یک حد نهایی ثابت ادامه می‌یابد. در این حالت ناحیه a تمام طول ستون را فرا گرفته است. شکل (۲-۳) به طور شماتیک، تغییرات غلظت B را در خروجی نشان می‌دهد. هنگامی که عملیات ستون درون قطعه شکست قطع می‌شود، لایه‌های پائین ستون، کاملاً به فرم B تبدیل نشده‌اند. یعنی در ناحیه b قرار دارند. بر این اساس در عملیات مورد نظر، از تمام ظرفیت رزین استفاده نشده است. ظرفیت استفاده شده در این وضعیت، به عنوان ظرفیت دینامیکی شناخته می‌شود و بدیهی است که از ظرفیت کل رزین کمتر است. ظرفیت دینامیکی و کل هر دو به وسیله تغییرات غلظت در خروجی قابل تعیین هستند. در شکل (۲-۳) اولی متناسب با مساحت abed و دومی متناسب با مساحت سطح بین منحنی غلظت و خط ad است. در عملیات ستون، همواره سعی بر این است که ظرفیت دینامیک افزایش یافته و به ظرفیت کل رزین نزدیک‌تر شود. نسبت ظرفیت دینامیک به ظرفیت کل، درجه کارایی ستون نامیده شده و در حقیقت درصدی از رزین است که مورد استفاده قرار گرفته است.

هنگامی که رزینی به فرم B تبدیل می‌شود، برای استفاده مجدد از آن باید در فرآیندی مشابه آنچه ذکر شد، با محلول احیاکننده مجددأ به فرم A تبدیل شود. این دو مرحله در حقیقت دو بخش یک سیکل معمولی تعویض یون هستند. معمولاً یکی از این دو مرحله را اشباع و دیگری را احیاء می‌نامند. ترتیب انتساب این دو نام به دو مرحله فوق بیشتر جنبه قراردادی دارد. در بعضی موارد، مرحله‌ای که محصول اصلی و مورد نظر را به دست می‌دهد، مرحله اشباع می‌نامند و در بعضی موارد، این نام به مرحله با راندمان بالاتر اطلاق می‌شود. برای مثال در فرآیند سختی‌گیری از آب، مرحله‌ای که آب نرم تولید

می‌کند، مرحله اشباع و مرحله دیگر احیا است.

ایده‌آل ترین حالت در به کارگیری یک ستون این است که ناحیه تعویض یون وجود نداشته باشد یعنی، غلظت در طول ستون به صورت پله‌ای تغییر کند. در این حالت، ظرفیت دینامیک با ظرفیت کل برابر است اما در عمل، دستیابی به چنین حالتی محدود نیست. طول ناحیه تعویض یون و نحوه تغییرات آن حین جابه‌جا شدن در ستون به عوامل مختلف زیر بستگی دارد.

- نوع تعادل
- مقدار عددی فاکتور جداسازی
- سرعت تعویض
- پدیده‌های هیدرودینامیکی
- شرایط عملیاتی
- درجه کارایی ستون

### ۳-۳-۱- تئوری‌ها و مدل‌ها

بررسی ریاضی فرآیند عملکرد ستون، مسئله پیچیده‌ای است. تئوری‌های کنونی، براساس فرض‌هایی ساده‌کننده هستند و از این جهت، فقط نتایج تقریبی به دست می‌دهند. تئوری‌های زیادی با فرض‌های مختلف و درجات پیچیدگی متفاوت و یا محسن و معایب خاص خود وجود دارند. بسیاری از این تئوری‌ها، با تغییرات جزئی برای پدیده جذب سطحی نیز قابل استفاده‌اند. برخی از فرض‌هایی که در اکثر تئوری‌ها وجود دارد، عبارتند از:

- ۱) فرض وجود جریان ایده‌آل پلاگ، با این فرض از اثرات اختلال گردابه‌ای و اغتشاشات جریان صرف‌نظر می‌شود.
- ۲) از اثر تغییرات تورم، دما و جذب الکترولیت صرف‌نظر می‌شود.  
به طور کلی این تئوری‌ها را می‌توان به دو گروه کلی تقسیم کرد:

- تئوری‌های تعادلی
- تئوری‌های سرعت

### ۳-۳-۱-۱- تئوری‌های تعادلی

در این تئوری‌ها فرض می‌شود که تعادل موضعی بین محلول و رزین در لایه‌های مختلف بستر به

وجود می‌آید. در عمل، این شرط معمولاً به وقوع نمی‌پیوندد. انحراف از تعادل واقعی با یک روش نیمه تجربی و با به کارگیری مفهوم صفحه مؤثر، مورد توجه قرار می‌گیرد. فرض ایده‌آل در بسیاری از تئوری‌های این دسته چنین است که فرآیند پیوسته یک ستون را با یک تقریب خوب، به وسیله یک فرآیند موهومی ناپیوسته نشان دهنده که در این فرآیند، یک حجم محلول در عبور از یک صفحه با ارتفاع محدود و معین، با رزین موجود در آن به تعادل می‌رسد. به عبارت دیگر، در این مدل، حجم‌های محدود محلول در معرض یک سری تعادلات قرار می‌گیرند که هر تعادل در یک صفحه مؤثر رخ می‌دهد. این حجم‌های محلول باید اینقدر بزرگ باشند تا یک صفحه مؤثر را کاملاً پر کنند. این تئوری‌ها نمی‌توانند اطلاعاتی درباره اثر تغییر شرایط عملیاتی روی عملکرد ستون بدهنده و در نتیجه، دستیابی به شرایط بهینه عملکرد، تنها با سعی و خطا ممکن است. این تئوری‌ها برای توان ثابت و تعادل خطی مورد استفاده قرار می‌گیرند.

### ۳-۲-۴- تئوری‌های سرعت

در این تئوری‌ها، هیچ فرضی مبنی بر وجود تعادل محلی در لایه‌های بستر انجام نمی‌شود. محاسبات براساس جریان پیوسته در داخل ستون و سرعت‌های محدود تعویض یون انجام می‌گیرد. از این رو این مدل‌ها تا حدودی دقیق‌تر عمل می‌کنند. اما متأسفانه حل آنها از نظر ریاضی دشوارتر است. بزرگ‌ترین حسن این تئوری‌ها، این است که عملکرد ستون با استفاده از داده‌های اساسی نظیر شدت جریان، غلظت خوراک، اندازه ذرات رزین و... بدون کمیت‌های تجربی قابل پیش‌گویی است و بر این اساس امکان تعیین شرایط عملیاتی بهینه وجود دارد. محاسبه عملکرد ستون با هر تئوری سرعت نیاز به حل همزمان سه معادله دارد:

- قوانین سرعت در داخل ذره و فیلم مایع
- شرط تعادل یون در سطح ذره
- موازنۀ جرم برای یون‌های مختلف در لایه‌های افقی یک بستر

قوانین عمومی سرعت و شرط تعادل، معادلاتی غیرخطی هستند. از این رو جواب‌های حقیقی فقط با انجام یک سری فرض‌های ساده‌کننده میسر است. معمولاً قوانین سرعت به وسیله معادلات خطی ساده تقریب زده می‌شوند.

### **۳-۳-۳-۳- تجهیه و تحلیل داده‌ها**

در طراحی یک ستون تعویض یون اطلاعات تجربی حاصل از آزمایشگاه بایستی با داده‌های مربوط به سرعت تعویض یون، تجزیه و تحلیل شده و مورد مقایسه قرار گیرد. به عنوان مثال باید بتوان به کمک این روش‌های تفسیری، قطر ستون را در شرایط مختلف پیش‌بینی کرد. مهم‌ترین روش‌های تفسیر نتایج به شرح زیراست:

با توجه به آنچه ذکر شد، با انطباق منحنی‌های تجربی غلظت خروجی با معادلات تئوری می‌توان به یکی از مدل‌های مناسب و نیز با داشتن یک یا چند پارامتر می‌توان به دیگر پارامترهای مجهول دست یافت. در صورت معلوم بودن تمام عوامل و انطباق منحنی، مدل به دست آمده، اثبات می‌شود.

### ۳-۳-۳-۲-۳-آالیز شیب نقطه میانی

تعیین یک یا چند پارامتر سیستم، با استفاده از شب منحنی تجربی غلظت در نقطه میانی، توسط Tomas و همکاران پیشنهاد و اجرا شد. در این روش، مقدار پارامتر ( $\partial x / \partial T$ ) به طریق گرافیکی از روی منحنی تجربی تعیین و با مقادیر تئوری در مدل‌های مختلف مقایسه می‌شود. در مدل تعادل (توان تناسبی)، با مشتق‌گیری داریم: ( $x$ : غلظت در نقطه میانی ستون،  $N$ : تعداد واحد انتقال،  $T$ : زمان،  $r$ : فاکتور جداسازی (توان تناسبی))

$$\left(\frac{\partial x_{\text{..}}}{\partial T}\right)_N = \frac{(r+1)^r}{r(r-1)} \quad (1-3)$$

این رابطه نشان می‌دهد که در توان تناسبی، شبی نقطه میانی مستقل از تعداد واحدهای انتقال و در نتیجه طول ستون است. بنابراین از این معادله نمی‌توان برای یافتن تعداد واحدهای انتقال استفاده کرد، اما باید یافتن مقدار  $\tau$  و تحقیق رسیدن به توان تناسبی مناسب است.

برای ای توان ثابت بی اساس مدل سیستمیکی داریم:

$$\left(\frac{\partial x_{\cdot, \circ}}{\partial T}\right)_{Nr} = \frac{(1-r)_{Nr}}{\xi} \quad (\text{F-3})$$

در این روش آنالیز لازم است که شرایط عملیاتی برای دو مرحله اشیاء و احیاء (غلظت، دبی) و

طول ستون) یکسان باشد.

### ۳-۳-۳-۳- آنالیز نتایج حاصل از طول متغیر ستون

چنانچه از دو ستون با طول متفاوت و با یک نوع رزین مشخص برای انجام دو آزمایش مشابه در غلظت و دبی یکسان استفاده شود، در مقایسه نتایج حاصل از این دو آزمایش بر پایه مدل سیتیکی، اغلب برای یافتن فاکتور جداسازی مناسب است. در این حالت گاهی منحنی های غلظت شکل یکسان دارند. (توان ثابت)

### ۳-۳-۴- آنالیز آزمایش های کوپل

این روش یک راه حل کلی برای یافتن همزمان فاکتور جداسازی و تعداد واحدهای انتقال با استفاده از معادله تواماس است. در این روش با یک ستون منفرد دو مرحله اشباع و احیاء در غلظت و دبی یکسان انجام می شود. این روش کلی و قابل اعتماد است و یک برنامه کامپیوتری مناسب می تواند سرعت انجام آن را به نحو مؤثری افزایش دهد.

### ۳-۴-۴- پیش گویی رفتار ستون و Scale up

اصلًاً تعریف کمی عملکرد یک ستون با تئوری های مناسب از این جهت اهمیت دارد که می توان با کمک تئوری و یا انجام حداقل آزمایش ها با یک ستون آزمایشگاهی، رفتار ستون را در شرایط عملیاتی مختلف پیش گویی نمود. در پیش گویی رفتار یک ستون صنعتی براساس داده های حاصل از یک ستون آزمایشگاهی می توان به موارد زیر اشاره کرد:

- (۱) به عنوان ساده ترین حالت، چنانچه طول دو ستون، سرعت خطی جريان و غلظت خوراک در هر دو مورد یکی بود و تنها اختلاف در قطر دو ستون باشد، با اعماض از اختلاف اثرات هیدرودینامیکی می توان داده های تجربی آزمایشگاهی را به عنوان مبنایی برای تعیین رفتار ستون صنعتی تلقی نمود.
- (۲) چنانچه فقط سرعت خطی جريان و غلظت خوراک بین دو ستون یکسان باشد و دو ستون از نظر طول و قطر متفاوت باشند، در نتیجه مکانیسم کنترل کننده تعویض یون و ضرایب انتقال جرم در هر دو مورد یکسان خواهد بود، بنابراین با استفاده از مدل سیتیکی تواماس، تعداد واحدهای انتقال به نسبت

طول ستون افزایش می‌یابد و لذا با مشخص بودن سرعت خطی جريان و غلظت خوراک و  $N$  برای ستون جدید با توجه به منحنی غلظت خروجی آن، قابل پیش‌بینی است.

۳) مشکل ترین موقعیت، اختلاف سرعت خطی و غلظت بین ستون صنعتی و نتایج آزمایشگاهی است. به عنوان اصل کلی، در این مورد باید با استفاده از داده‌های تجربی، رابطه مناسبی بین ضرایب انتقال جرم (و یا ثابت سرعت توماس) با شرایط عملیاتی (سرعت خطی جريان و غلظت) یافت و از آن برای تعیین ضریب انتقال جرم (و یا ثابت سرعت) در شرایط جدید بهره گرفت.

### ۳-۵-۳- عملیات دوره‌ای ستون

عملیات ستون تعویض یون در مقیاس صنعتی، معمولاً شامل چند مرحله می‌شود. اشباع، شستشو، شستشوی معکوس، احیاء، شستشو، شستشوی معکوس، در بین این مراحل وجود دو مرحله اشباع و احیاء در یک دوره قطعی است. اما ممکن است براساس شرایط سیستم تعداد مراحل شستشو و یا شستشوی معکوس در یک سیکل کاهش یافته و یا حذف شود. ممکن است هر مرحله شستشو در دو مرحله آهسته و تند صورت گیرد. انتخاب تعداد، چگونگی و مدت مراحل شستشو و شستشوی معکوس در عملیات دوره‌ای ستون به عوامل مختلفی نظیر نوع مبدل یونی، تغییر حجم سیستم در مراحل احیاء، غلظت خوراک، نوع و کیفیت محصول مورد نظر بستگی دارد و معمولاً براساس معیارهای تجربی بهینه می‌شود. مهم‌ترین مسئله در مورد عملیات دوره‌ای یک ستون این است که اشباع و احیاء در اغلب موارد و به دلایل اقتصادی یا فنی، کامل انجام نمی‌شود.

عملیات تعویض یون در نقطه شکست ظرفیت دینامیکی قطع می‌شود (که این نقطه به خواص مورد نظر محصول بستگی دارد). در این وضعیت، ناحیه تعویض یون هنوز از ستون خارج نشده و قسمت پائین ستون را دربر می‌گیرد. پس از قطع خوراک، شستشو و یا شستشوی معکوس و یا هر دو مرحله صورت گرفته، آنگاه تعویض یونی معکوس آغاز می‌شود. مرحله اخیر (مرحله احیاء) ممکن است به سه فرم مختلف انجام پذیرد:

- (۱) اگر بعد از شستشوی ستون، خوراک هم جهت با مرحله قبلی تعویض یون (اشباع) وارد ستون شود پدیده نشت یعنی ظهور پیش از موعد یون‌های خوراک در خروجی ستون اتفاق می‌افتد.
- (۲) چنانچه قبل از مرحله احیاء ستون، رزین به وسیله آب و یا هوا کاملاً مخلوط شود تا ذرات اشباع نشده رزین به طور یکنواخت در تمام ستون پخش شوند و سپس خوراک هم جهت با مرحله اشباع وارد ستون گردد، خروجی وضعی شبیه حالت اشباع یکنواخت در ستون را دارد.

(۳) ممکن است پس از شستشو، خوراک در خلاف جهت مرحله اشباع وارد ستون شود. در این حالت، گرچه ظرفیت ستون برای این مرحله کاسته می‌شود، اما به هر حال دیگر نشت رخ نمی‌دهد. این روش شاید متداول‌ترین روش در چرخه‌های تعویض یون باشد. پیش‌گویی عملکرد یک ستون در عملیات دوره‌ای به علت اشباع و احیاء ستون ساده نیست. مدل تحلیلی، جز در مورد تعادل خطی وجود ندارد که آن هم بسیار پیچیده است.

### ۳-۶-۳- اثرات هیدرودینامیکی

یکی از فرض‌های اصلی در اینجا، فرض جریان پیستونی ایده‌آل برای حرکت سیال است. بر این اساس، غلظت محلول در هر لایه افقی از ستون، کاملاً یکنواخت فرض می‌شود. اما در واقع، هر لایه افقی محلول، به واسطه عبور آن از بین ذرات، مرتب تغییر شکل می‌دهد. این مسئله باعث دو پدیده به نام پخش گردابه‌ای و کانالیزه شدن می‌شود.

### ۳-۷-۳- پخش گردابه‌ای

پدیده پراکندگی محوری یون که به واسطه مسیر پرپیچ و خم و تغییرات مدام اعمال شده روی سرعت لایه‌های سیال و اختلاط در فضای خالی بین ذرات است و نفوذ مولکولی محوری را نیز شامل می‌شود، حتی در ستون‌های کاملاً منظم و با جریان آرام و درهم رخ می‌دهد. در جریان آرام، یک حجم از سیال که یک خط جریان را دنبال می‌کند، به واسطه یکنواخت نبودن سطح مقطع آزاد در طول مسیر، مجبور به تغییر سرعت است. همچنین مسیرهای مختلف جریان، به یکدیگر پیوسته و از هم جدا می‌شوند، به طوری که یک مولکول می‌تواند از مسیری به مسیر دیگر رفته و سرعتش تغییر کند. پراکندگی به وجود آمده برای یک یون یا ذره دیگر، از قوانین آمار تبعیت می‌کند و می‌توان آن را توسط یک ثابت نفوذ گردابه‌ای مشخص کرد. مدل قدم زدن اتفاقی به خوبی می‌تواند این پدیده را توصیف کند.

### ۳-۸-۳- کانالیزه شدن

این پدیده، غیریکنواختی سرعت ناشی از نامنظم بودن آکنده است و از این واقعیت نشأت می‌گیرد که در بستر نامنظم، فضای تهی متوسط در سراسر ستون یکنواخت نیست، لذا قسمت‌هایی از بستر با تراکم کم، مقاومت کمتر در برابر سیال بروز می‌دهند و در نتیجه در این نواحی، سیال با سرعت بیشتری

حرکت می کند. این تغییر شکل به وجود آمده در باندهای سیال، باعث گرادیان شعاعی غلظت شده و پدیده پراکندگی شعاعی را پدید می آورد، جنبه های مختلف کانالیزه شدن بدین ترتیب اند که از آنجا که دیوار صلب یک ستون در مقابل آرایش و ترتیب ذرات محدودیت اعمال می کند، دانسیته آکنده ضرورتاً در نزدیکی دیواره کمتر خواهد بود. در نزدیکترین قسمت به دیواره این دانسیته صفر است؛ اما سرعت سیال نیز به خاطر اصطکاک با دیواره ناچیز است. به طور تجربی ثابت شده که در بسترهای کاملاً منظم، سرعت سیال در فاصله ای حدود یک قطر ذره از دیواره ستون، حداقل مقدار خود را دارد. این سرعت بیش از دو برابر سرعت سیال در مرکز ستون است. هنگامی که سطح مقطع ستون کم و قطر ذرات بزرگ باشد، اثرات کانالیزاسیون در دیواره بسیار جدی است. این اثر هنگامی که قطر ستون کمتر از ۳۰ برابر قطر ذره است، قابل ملاحظه خواهد بود. انسباط رزین در طی عملیات باعث بسته شدن کانال های موجود می شود، ولی انقباض آن اثر متضاد دارد و باعث کانالیزه شدن به خصوص در دیواره ستون می شود.

هر دو اثر پراکندگی محوری و کانالیزاسیون هنگامی که ستون به طور منظم پر شده و اندازه و شکل ذرات یکنواخت باشد، به کمترین مقدار خود می رسد. [۲۶]

### ۳-۴- مواد و روش ها

Rele A490 یک رزین مبدل آنیون قوی متخلخل است که انتخابی عالی برای حذف نیترات است. این رزین باعث می شود که مبادله سیتیک به خوبی انجام شده و مقاومت خوبی در برابر شوک های فیزیکی، حرارتی و اسمزی و همچنین آسیب رساندن به مواد آلاینده دارد سازگاری آن با قوانین و مقررات فرآوری مواد غذایی تایید شده است. خواص فیزیکی و مشخصات آن توسط تامین کنندگان در جدول (۱-۳) گزارش شده است.

جدول (۱-۳) خصوصیات فیزیکی و شیمیایی رزین های Relite A490 و Duolite A7

Duolite A7	Relite A490	رزین
فنول فرمالدئید پلی سکتانس	کوپلیمر استایرن متخلخل	ماتریس
آمینه ثانویه	گروه چهارم آمونیوم	گروه عاملی
قهقهه ای مایل به قرمز، گرانول مات	نور زرد، دانه های مات	فرم فیزیکی
$2 \geq$	۰/۱۸ mm تا ۰/۳	اندازه ذره
$2 >$	۱/۷	ضریب یکنواختی
پایه آزاد	Cl <sup>-</sup>	فرم یونی

بهینه سازی حذف نیترات به کمک فرآیند تبادل یونی با استفاده از تکنیک رویه سطح پاسخ روش شناسی تحقیق

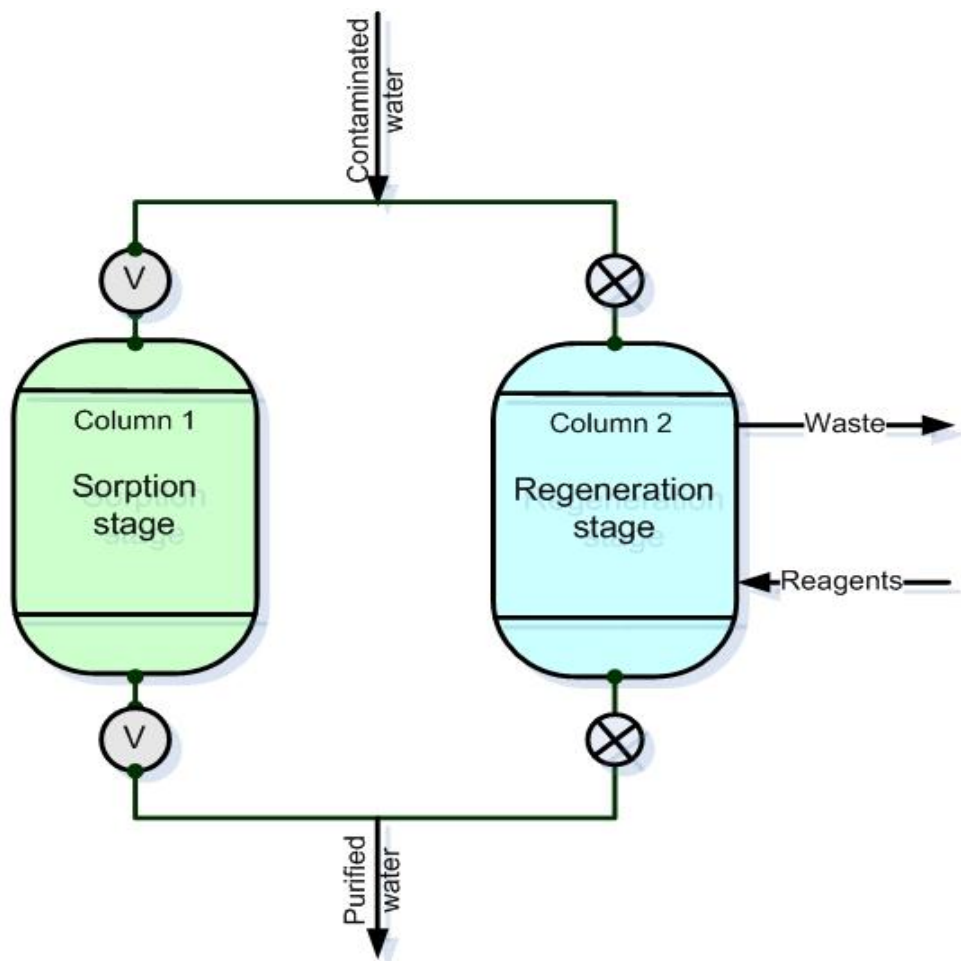
مجموع ظرفیت تبادل Mحدوده pH عملیاتی	٠ تا ١٢ تا ٥ تا ١٠٠ درجه سانتیگراد	٠/٩ eq/L ٨ تا ٢.١
محدوده دمای عملیاتی حداکثر ٤٠ درجه سانتیگراد		

DuoLite A7 رزین آنیونی پایه ضعیف فنولی است که به شدت مقاوم در برابر اصطکاک فیزیکی است. ساختار بسیار مخلخل این رزین هیدروفیلی آن را برای جذب برگشت پذیر از مولکول های بزرگ آلی و برای حذف اسیدیته مناسب می کند. خواص Duolite A7 در جدول (۱-۳) آورده شده است.

در آزمایشات طراحی شده، تمام واکنشگرها دارای درجه تحلیلی بودند. محلول های نیترات بر اساس محلول  $\text{KNO}_3$  در آب دیونیزه تهیه شده اند

### ۳-۴-۲- مطالعات جذب در حالت batch

آزمایش های جذب در حالت batch با لرزاندن مقادیر مختلف رزین (۰.۶-۱.۰ گرم) با  $100\text{ mL}$  محلول  $\text{KNO}_3$  (۱۰، ۵۰ و  $100 \text{ mg/L}$ ) در یک لرزاننده به مدت ۲۴ ساعت در دمای ۲۵ درجه سانتیگراد انجام شد، سپس رزین جدا شده از نمونه با فیلتر خلاء فرآوری می شود. در شکل زیر، شماتیک تبادل یونی در حالت ناپیوسته نشان داده شده است. مطابق شکل زمانی ستون اول در حال جذب است ستون دوم در شرایط احیای رزین قرار دارد.



شکل (۳-۳) ستاپ آزمایشگاهی فرآیند جذب و احیای نیترات در حالت ناپیوسته

غلظت نیترات باقی مانده با استفاده از یک اسپکتروفتوومتر مورد تجزیه و تحلیل قرار گرفت. کاهش

نیترات R به صورت درصد زیر محاسبه شد:

$$R = \frac{c_0 - c_r}{c_0} \cdot 100 \quad (3-3)$$

بگونه ای که  $c$ . غلظت نیترات اولیه ( $\text{mg/L}$ ) و  $c_r$ . غلظت نیتروژن باقی مانده ( $\text{mL}$ ) است.

### ۳-۴-۱-۲-۱-۱-۲-۳- اثر دوز رزین

مقادیر مختلف (۰.۱ - ۰.۶ گرم) Relite A490 و DuoLite A7 با ۱۰۰ mL محلول نیترات (۵۰ mg/L، pH ۵.۴) مخلوط شدند. نمونه ها به مدت ۲۴ ساعت همزده شد و غلظت نیترات باقی مانده اندازه گیری شدند.

### ۴-۳-۲-۴-۳- اثر زمان تماس

اثر زمان تماس با ارتعاش  $100\text{ mL}$  محلول نیترات ( $50\text{ میلی گرم بر لیتر}$ ,  $\text{pH } 5.4$ ) و  $0.6\text{ گرم رزین برای زمان های مختلف}$  ( $15, 30, 60, 120, 240$  و  $360\text{ دقیقه}$ ) نمونه ها از فیلتر عبور داده شدند و غلظت نیترات باقی مانده در فیلتر به روش اسپکتروفوتومتری مورد تجزیه و تحلیل قرار گرفت.

### ۴-۳-۲-۴-۳- تأثیر غلظت اولیه نیترات

محلول نیترات با  $100\text{ mg/L}$  از ماده  $\text{NO}_3^-$  توسط محلول رقیق  $\text{KNO}_3$  تهیه شد.  $100\text{ mL}$  از هر محلول با  $0.6\text{ گرم رزین}$  به مدت  $24\text{ ساعت}$  مخلوط شد. حداکثر ظرفیت جذب  $q$  به صورت زیر محاسبه شد:

$$q = \frac{c_0 - c_r}{m} V \quad (4-3)$$

بگونه ای که  $c_0$  و  $c_r$  مقدار اولیه و غلظت نیترات باقی مانده ( $\text{mg / L}$ ),  $V$  حجم نمونه ( $\text{L}$ ) و  $m$  جرم رزین ( $0.6\text{ g}$ ) است.

**فصل ۴:**  
**مدلسازی**

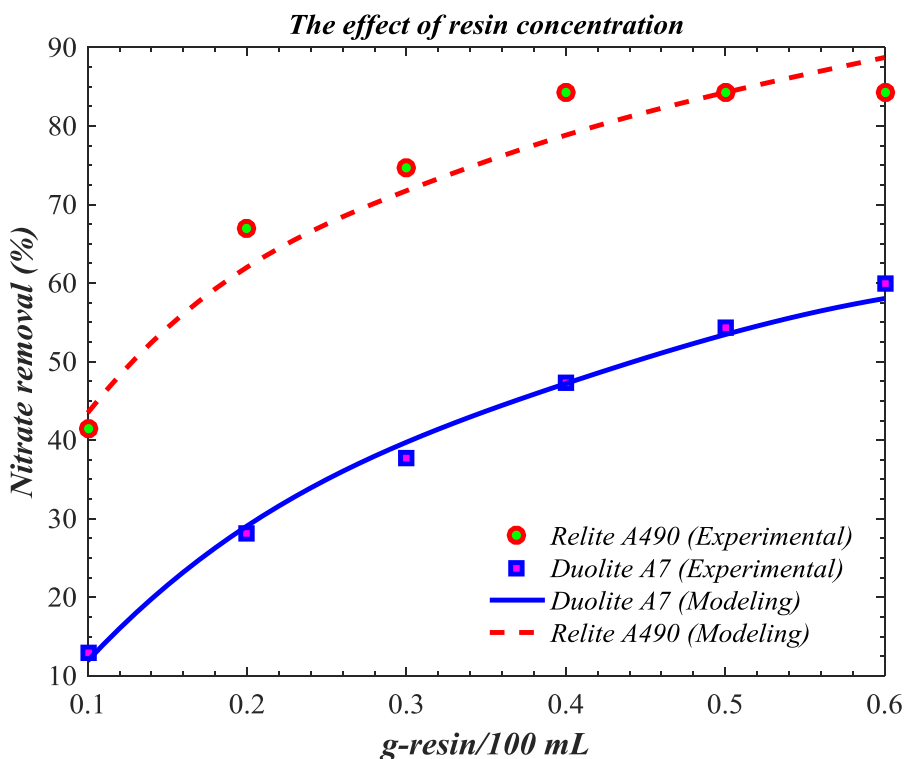
## ۱-۴- مقدمه

در این فصل نتایج مربوط به مدلسازی و بهینه سازی حذف نیترات به روش تبادل یونی به کمک رویه سطح پاسخ ارائه می شود. جهت ساخت مدل چند جمله ای درجه ۲ از داده های تجربی بدست آمده استفاده می شود. به کمک مدل چند جمله ای درجه ۲ شرایط بهینه حذف نیترات استخراج می گردد.

## ۲-۴- نتایج و بحث

### ۱-۲-۴- اثر دوز رزین

دوز رزین، پارامتر مهمی است زیرا ظرفیت تبادل یونی را برای غلظت اولیه جاذب تحت شرایط عملیاتی تعیین می کند. برای به دست آوردن مقدار بهینه غلظت رزین، که می تواند نیترات را از محلول آبی کاملا حذف کند، یک روش جذب سطحی پیاده سازی می شود. نتایج آزمایشات با مقادیر مختلف رزین در شکل (۱-۴) نشان داده شده است.



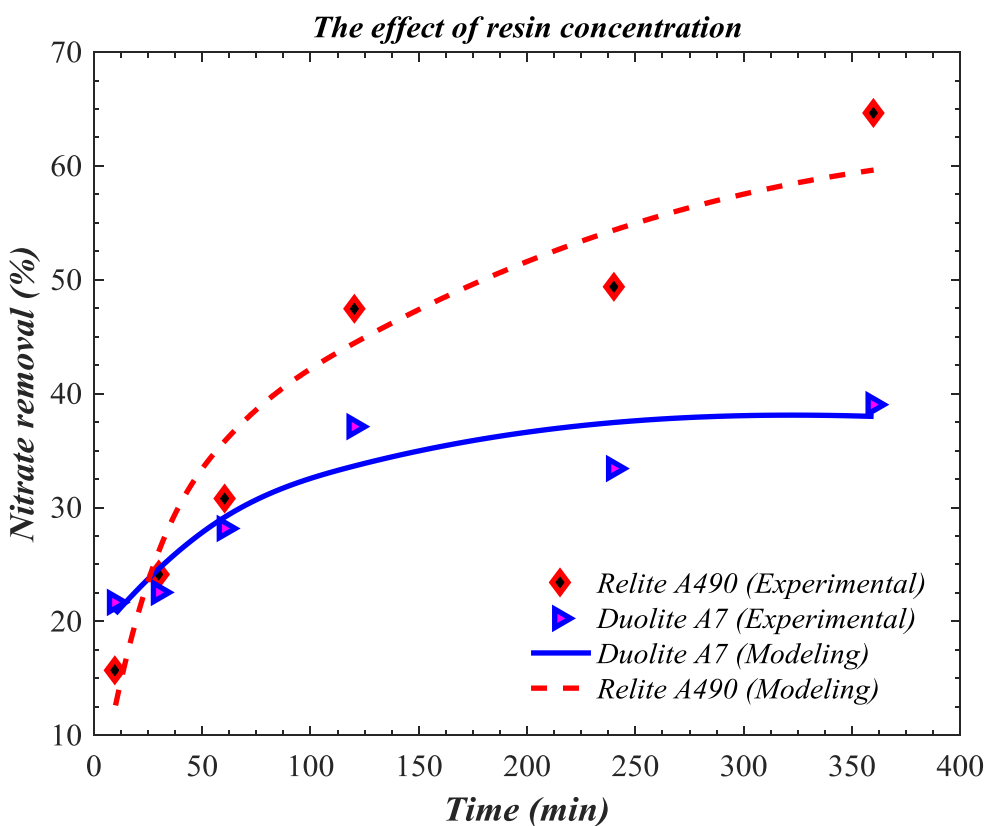
شکل (۱-۴) اثر مقدار رزین بر حذف نیترات از محلول آبی

به طور کلی، افزایش مقدار رزین باعث افزایش درصد حذف نیترات می شود. بهینه سازی کمی در

مقدار رزین برای Relite A490، ۶ گرم رزین بر لیتر بوده است، گرچه بیش از ۸۰٪ کاهش با ۴ گرم در لیتر به دست آمده است، در حالی که مقدار رزین بهینه ۶ گرم برای Duolite A7 با ۶۰٪ راندمان حذف بوده است. Samatya و همکاران [۲۷] نتایج مشابهی به دست آوردند. آنها افزایش درصد حذف نیترات را با افزایش دوز رزین مشاهده کردند. Xu و همکاران [۲۸] جذب یون های فسفات روی مبدل های تهیه شده یونی از بقایای گیاه گندم را بررسی کردند و گزارش دادند که با افزایش مقدار رزین، محل های جذب بیشتری در دسترس هستند که باعث افزایش راندمان حذف می شود. با این وجود، جذب کنندگی جاذب به طور قابل توجهی افزایش نخواهد یافت، اگر مقدار جذب به یک حد ثابت برسد. در شکل (۱-۴) می توان به وضوح مشاهده نمود که در مورد Relite A490، جذب ثابت  $L/g$  ۴ دست آمده و هر افزایش بیشتر از دوز رزین، تأثیر قابل توجهی در جذب نیترات بالاتر ندارد.

#### ۴-۲-۲-۱- اثر زمان تماس

همانطور که انتظار می رود، در طول زمان های تماس مختلف (۱۰، ۳۰، ۶۰، ۱۲۰ و ۲۴۰ دقیقه) بیشترین بازده حذف نیترات پس از ۳۶۰ دقیقه (شکل (۲-۴)) به دست آمده است. بعد از گذشت زمان ۲۰۰ دقیقه تغییرات چندانی مشاهده نمی شود. عملکرد رزین Relite A490 نسبت به با توجه به درصد حذف بالاتر، بهتر است.



شکل (۲-۴) تاثیر زمان تماس بر راندمان حذف نیترات

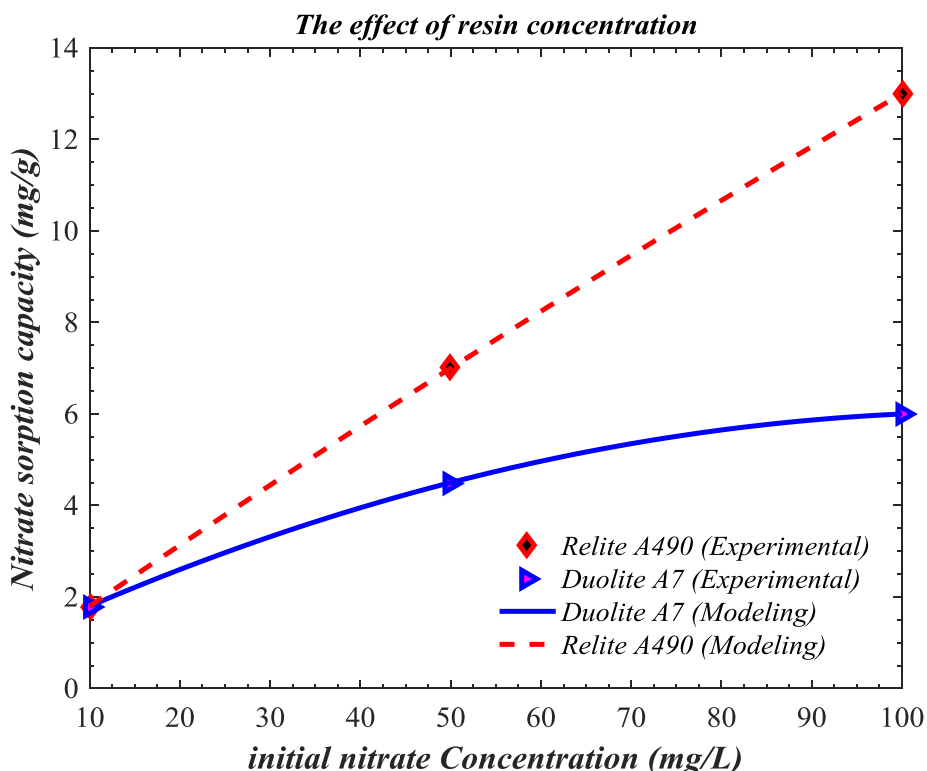
در هر دو مورد، پس از ۲۴۰ دقیقه، کاهش قابل توجهی در راندمان حذف وجود ندارد. زمان تماس ۱۲۰ تا ۳۶۰ دقیقه برای به دست آوردن تعادل کافی بوده است. بنابراین، برای اطمینان از تعادل، در تمام آزمایشات، زمان تماس ۲۴ ساعته استفاده شده است.

### ۳-۲-۴- تأثیر غلظت نیترات اولیه

مطابق شکل (۳-۴)، جذب یون های نیترات روی Relite A490 و Duolite A7 در غلظت های مختلف ۱۰، ۵۰ و ۱۰۰ mg/L با دوز رزین ۶ g/L، دمای واکنش ۲۵ درجه سانتی گراد و زمان تماس ۲۴ ساعته مورد بررسی قرار گرفت. با افزایش غلظت اولیه نیترات، راندمان حذف نیترات در هر دو رزین آزمایش شده از ۹۲/۲۳ به ۸۰/۸۷٪ برای Relite A490 و از ۸۱/۲۶ به ۴۰/۳۹٪ برای Duolite A7 کاهش می یابد. کاهش راندمان فرآیند را می توان به محل های جذب نامناسب در سطوح رزین نسبت داد.

حداکثر ظرفیت جذب برای Relite A490 ۱۳/۰۲ mg/g تا ۶/۵۱ mg/g برای Duolite A7 متغیر است. ارلاندور و همکاران [۲۹] ظرفیت g/ [۲۹] برای N-NO<sub>3</sub>- IRA-

۹۰۰ به دست آوردنده، در حالی که چابانی و همکاران. [۳۰] به میزان  $14/8 \text{ mg/g}$  ۱۴ میلی گرم بر گرم (به عنوان  $\text{NO}_3^--\text{N}$ ) برای Amberlite IRA-۴۰۰ به دست آوردنده.



شکل (۳-۴) حداقل ظرفیت جذب نیترات Relite A۴۹۰ و Duolite A۷

جدول (۱-۴) پارامترها و ضرایب تعیین مدل سیتیک شبه مرتبه دوم خطی

$R^*$	$k_f(\text{g}/\text{mg min})$	$q_e(\text{mg/g})$	رژین
۰/۹۶۹۲	۰/۰۰۱۸	۵/۰۶۸	Duolite A۷
۰/۹۷۸۱	۰/۰۰۱۰	۷/۳۹۱	Relite A۴۹۰

### ۳-۴- نتایج مدل چند جمله‌ای درجه دو

تکنیک آنالیز رگرسیونی چندگانه برای ارزیابی ضرایب مدل چندجمله‌ای درجه‌ی دو بکارگرفته شد. ضرایب معادله‌ی زیر به کمک نرم افزار متلب استخراج شد و مطابق زیر است.

جدول (۴-۲) ضرایب معادله رگرسیونی چند جمله‌ای درجه دوم مربوط به جذب نیترات

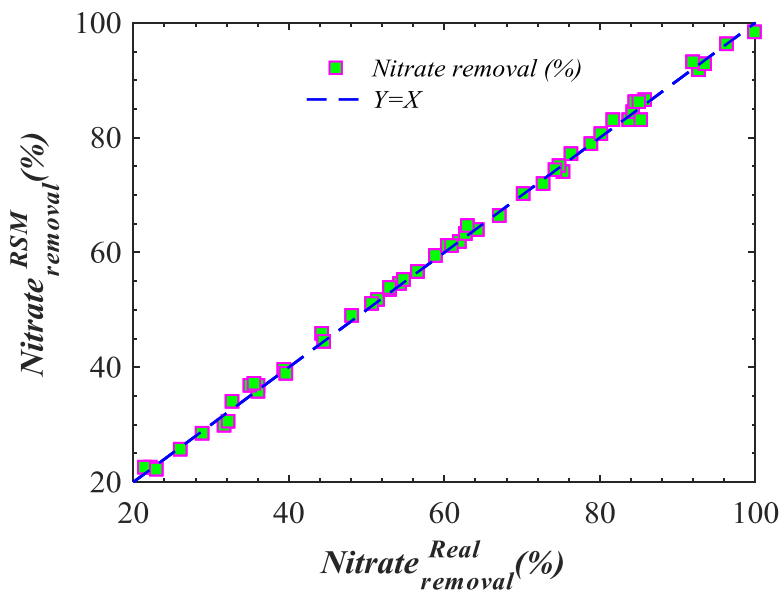
$$Y = b_0 + b_1x_1 + b_2x_2 + b_{11}x_{11}^2 + b_{22}x_{22}^2 + b_{12}x_1x_2$$

توضیح	مقادیر ضرایب
مقدار ثابت معادله	$b_0 = 1.01$
ضرایب خطی معادله	$b_1 = 180.5501 \quad b_2 = 25.44003$
ضرایب اثر متقابل	$b_{12} = +0.05032$
ضرایب ترم های درجه ۲	$b_{11} = -170.844 \quad b_{22} = -0.0004023$

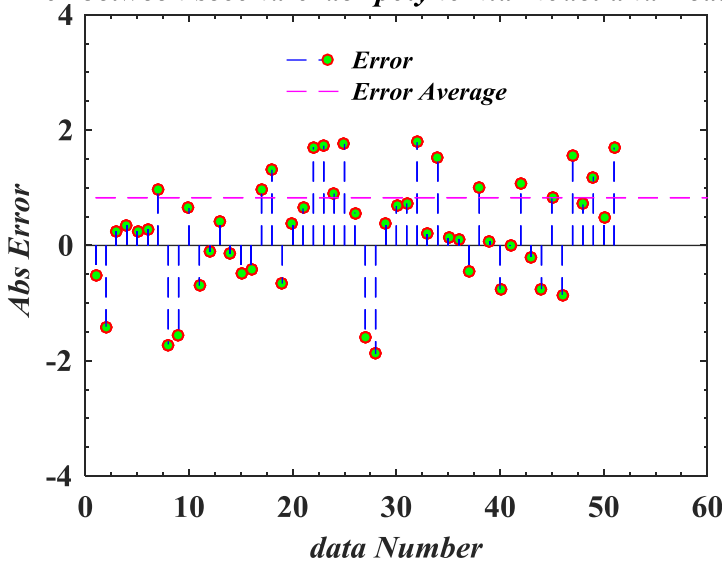
نمودار داده‌های پیش‌بینی به کمک مدل درجه دوم بر حسب داده واقعی در شکل (۴-۴) (الف) رسم شده است. محور افقی داده واقعی درصد حذف و محور عمودی پیش‌بینی مدل (مدل درجه دو) می‌باشد. در بهترین حالت زمانیکه که مدل کاملاً ایده آل عمل کند داده‌های نمودار می‌باشد بر روی خط نیمساز ربع اول  $Y=X$  واقع شود. در عمل بدلیل وجود خطای در مدلسازی، داده‌ها با یک پراکندگی نسبت به خط  $Y=X$  قرار می‌گیرند. بهترین معادله خط عبوری از داده‌ها ( $Y=AX+b$ ) مطابق رابطه (۱-۴) بدست آمد. نمودار این معادله خط در نمودار شکل (۴-۴) نیز رسم شده است.

$$Y \cong 0.99X + 0.915 \quad (1-4)$$

مطابق نتایج شکل (۱-۴)، دقیق‌تر پیش‌بینی درصد حذف نیترات، به کمک مدل درجه دوم، مطلوب بوده و تطابق خوبی بین نتایج مدل درجه دوم و داده واقعی وجود دارد. در شکل (ب) نمودار خطای مطلق درصد حذف نیترات، برای ۵۱ داده رسم گردید. همانطور که مشاهده می‌کنید میزان خطای مطلق، عموماً در محدوده  $\pm 1.9\%$  است. و میزان متوسط قدر مطلق خطای مطابق شکل (۱-۴) (ب) کمتر از ۰.۱٪ است.



*Error between second-order polynomia model and Real data*



شکل (۴-۴) (الف) نمودار درصد حذف نیترات برای داده واقعی و مدل (ب) نمودار خطای مطلق (اختلاف مدل و واقعی)

ضریب رگرسیون مدل و متوسط مربعات خطا به ترتیب  $R=0.993$  و  $MSE=0.0001$  بدست آمد.

در جدول (۳-۴) شاخص های سنجش دقت مدل چند جمله‌ای درجه دوم ارائه شده است. مطابق نتایج جدول، مدل پیشنهاد شده جهت پیش بینی درصد حذف نیترات دقت مناسبی برخودار است.

جدول (۳-۴) شاخص های سنجش دقت مدل چند جمله‌ای درجه دوم جهت پیش بینی درصد حذف نیترات

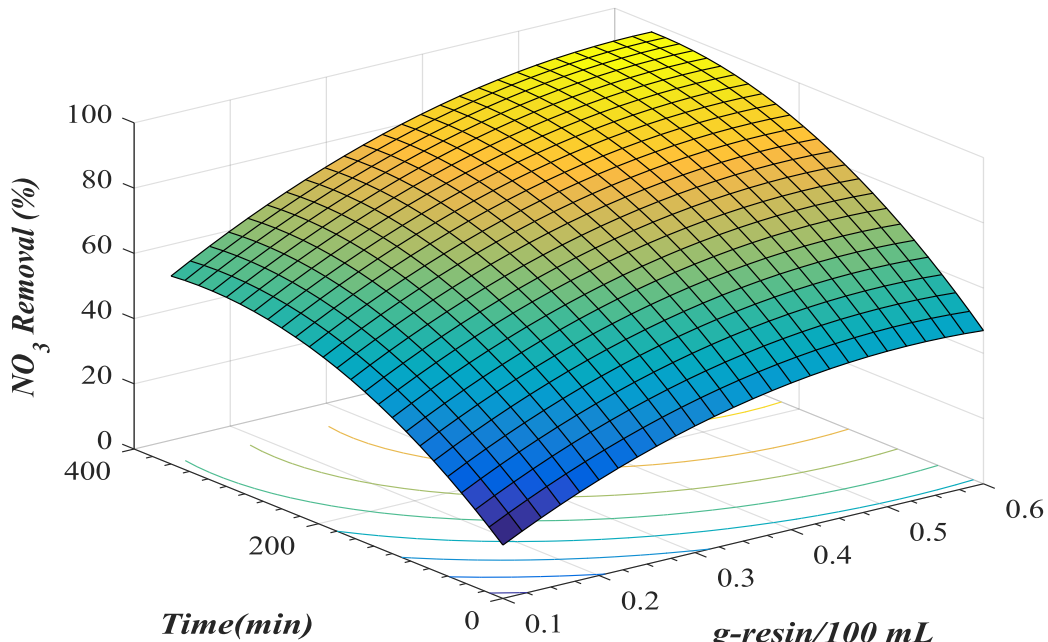
شاخص عملکرد مدل	درصد خطای متوسط مدل	ضریب همبستگی مدل	میزان میانگین مربعات خطا
مقدار	MAPE	R <sup>2</sup>	MSE
۰.۸۳%	۰.۹۹۳	۰.۹۹۳	۰.۰۰۰۱

در شکل (۴-۵) درصد حذف نیترات به شکل رویه بر حسب زمان تماس و غلظت رزین Relite A۴۹۰ نمایش داده شده است. این نمودار برای غلظت اولیه نیترات  $10 \text{ mg/L}$  رسم شده است. مطابق نتایج بدست آمده از مدل چندجمله ای درجه ۲ میزان حذف نیترات با افزایش مدت زمان تماس و با افزایش غلظت رزین افزایش می یابد. (با افزایش غلظت رزین سرعت واکنش تبادل یونی افزایش می یابد).

نتایج زیر، بعد از مدلسازی به کمک مدل چند جمله ای درجه ۲ برای  $C_i = 10 \text{ mg/L}$  بدست آمد

- مطابق رویه شکل (۴-۴) زمانیکه غلظت رزین  $\text{mL g-resin}/100$  است با افزایش مدت زمان از ۱۰ دقیقه تا ۳۶۰ دقیقه میزان درصد حذف  $\% ۲۰$  تا  $\% ۶۰$  افزایش می یابد.
- (غلظت اولیه نیترات:  $10 \text{ mg/L}$ ). مطابق رویه زمانیکه غلظت رزین  $\text{mL g-resin}/100$  است با افزایش مدت زمان از ۱۰ دقیقه تا ۳۶۰ دقیقه میزان درصد حذف  $\% ۴۳$  تا  $\% ۹۹$  افزایش می یابد مطابق نتایج زمانیکه که غلظت رزین  $\text{mL g-resin}/100$  است بعد از ۲۰۰ دقیقه، عملا درصد حذف نیترات تغییر چندانی ندارد.

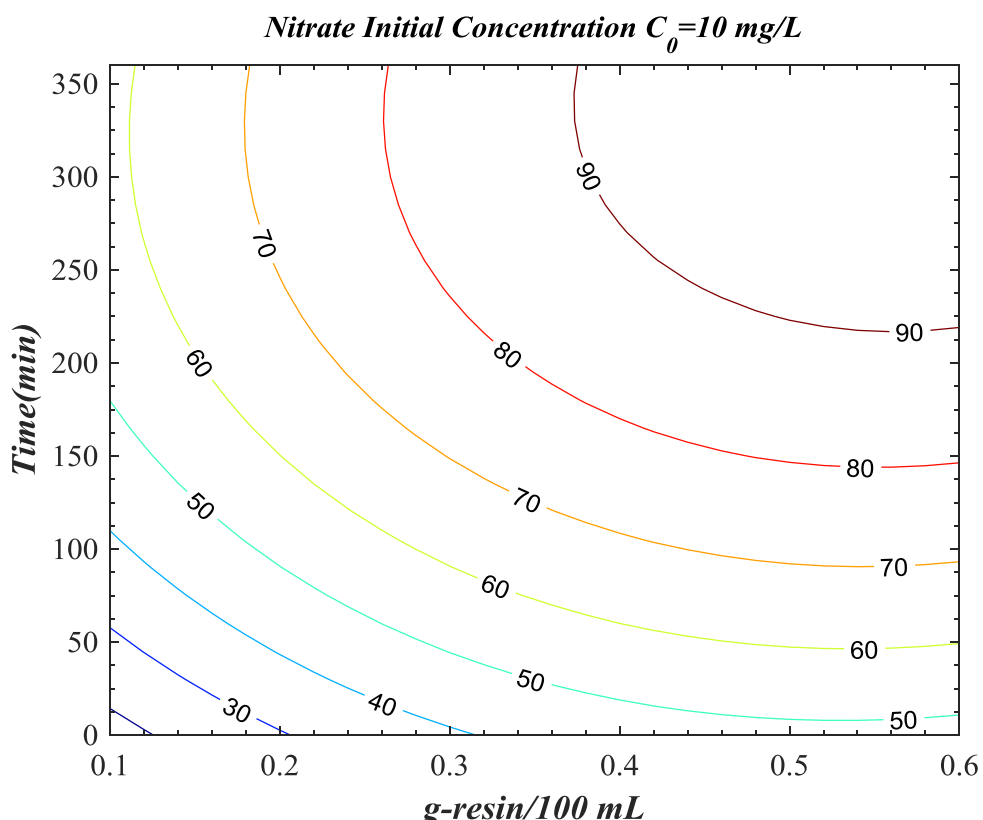
**Nitrate Initial Concentration  $C_i = 10 \text{ mg/L}$**



شکل (۴-۵) رویه درصد حذف بر حسب زمان تماس و مقدار رزین Relite A۴۹۰ برای غلظت نیترات اولیه ( $C_i = 10 \text{ mg/L}$ )

- مطابق کانتور شکل (۴-۶) با افزایش غلظت رزین و زمان تماس، درصد حذف افزایش می یابد. مقدار درصد حذف بر روی منحنی های بیضوی نشان داده شده در شکل، عددی

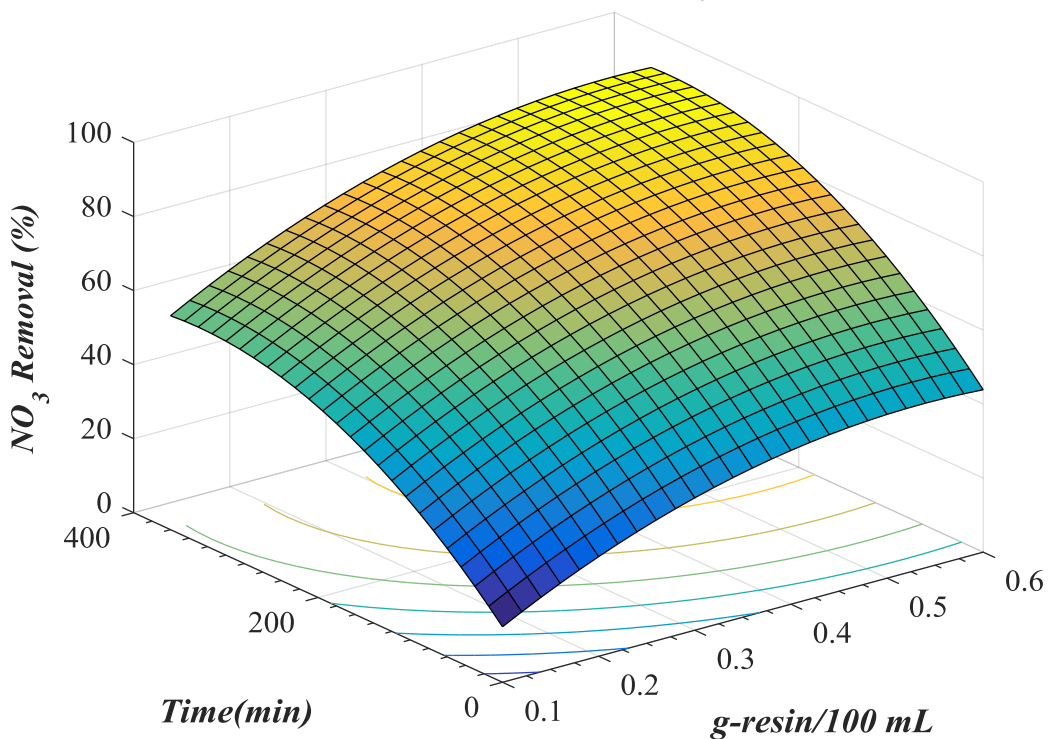
ثابت ( $30\text{--}40\text{--}50\text{--}60\text{--}70\text{--}80\text{--}90\%$ ) است. ناحیه ای که درصد حذف بالای  $90\%$  درصد است در سمت راست بالای شکل نمایش داده شده است. این ناحیه به شکل  $1/4$  یک بیضی است. به عبارت دیگر، در ناحیه محصور در داخل این بیضی مقدار درصد حذف بالای  $90\%$  است و بیشترین مقدار درصد حذف ( نقطه‌ی بهینه ) مربوط به نقطه مرکز بیضی است که به ازای مدت زمان تماس  $360$  دقیقه و غلظت رزین حدود  $6\text{ g}\cdot\text{resin}/100\text{ mL}$  حاصل می‌شود.



شکل (۴-۶) کانتور درصد حذف بر حسب زمان تماس و مقدار رزین برای غلظت نیترات اولیه ( $C_0=10\text{ mg/L}$ ) Relite A490

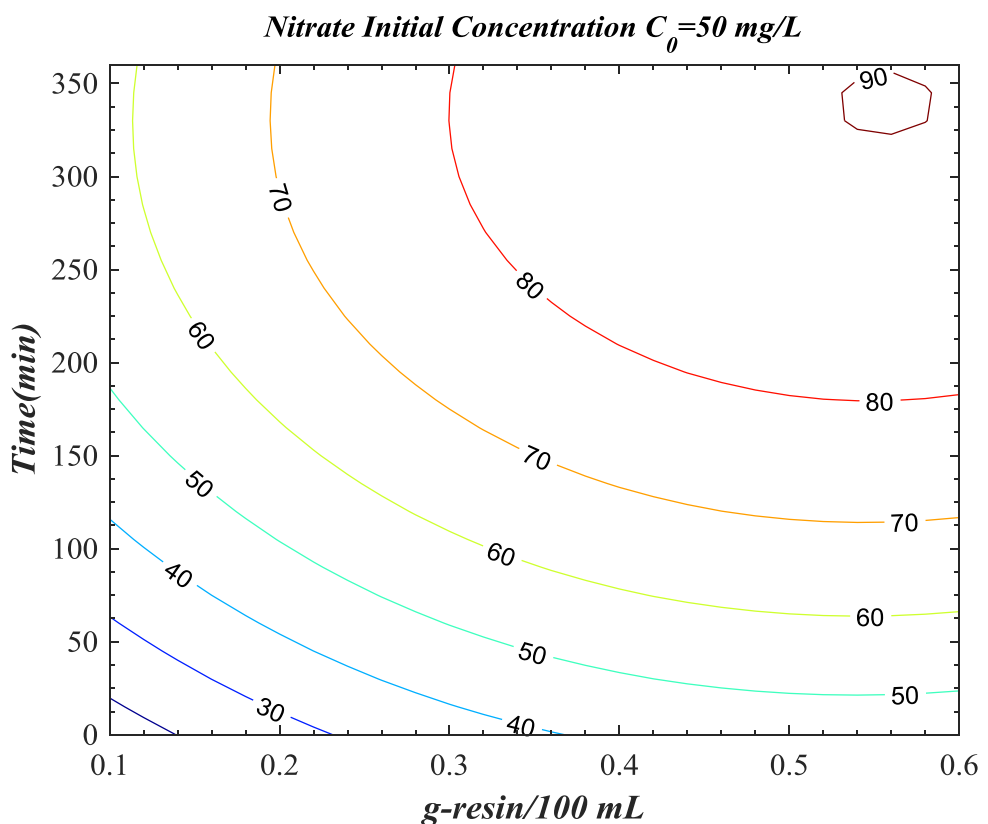
نتایج زیر، بعد از مدلسازی به کمک مدل چند جمله‌ای درجه ۲ برای  $C_0=50\text{ mg/L}$  بدست آمد • مطابق رویه شکل (۷-۴) زمانیکه غلظت رزین  $10\text{ g-resin}/100\text{ mL}$  است با افزایش مدت زمان از  $10\text{ دقیقه تا }360\text{ دقیقه میزان درصد حذف }58\%-20\%$  افزایش می‌یابد. (غلظت اولیه نیترات:  $50\text{ mg/L}$ ). مطابق رویه زمانیکه غلظت رزین  $6\text{ g-resin}/100\text{ mL}$  است با افزایش مدت زمان از  $10\text{ دقیقه تا }360\text{ دقیقه میزان درصد حذف }43\%-40\%$  افزایش می‌یابد مطابق نتایج زمانیکه که غلظت اولیه نیترات از  $50\text{ mg/L}$  به  $10\text{ mg/L}$  تغییر کرد میزان حداکثر درصد حذف از  $99\%$  به  $90\%$  کاهش یافت.

(مقایسه شکل (۴-۷) و شکل (۴-۴))

*Nitrate Initial Concentration  $C_0 = 50 \text{ mg/L}$* 

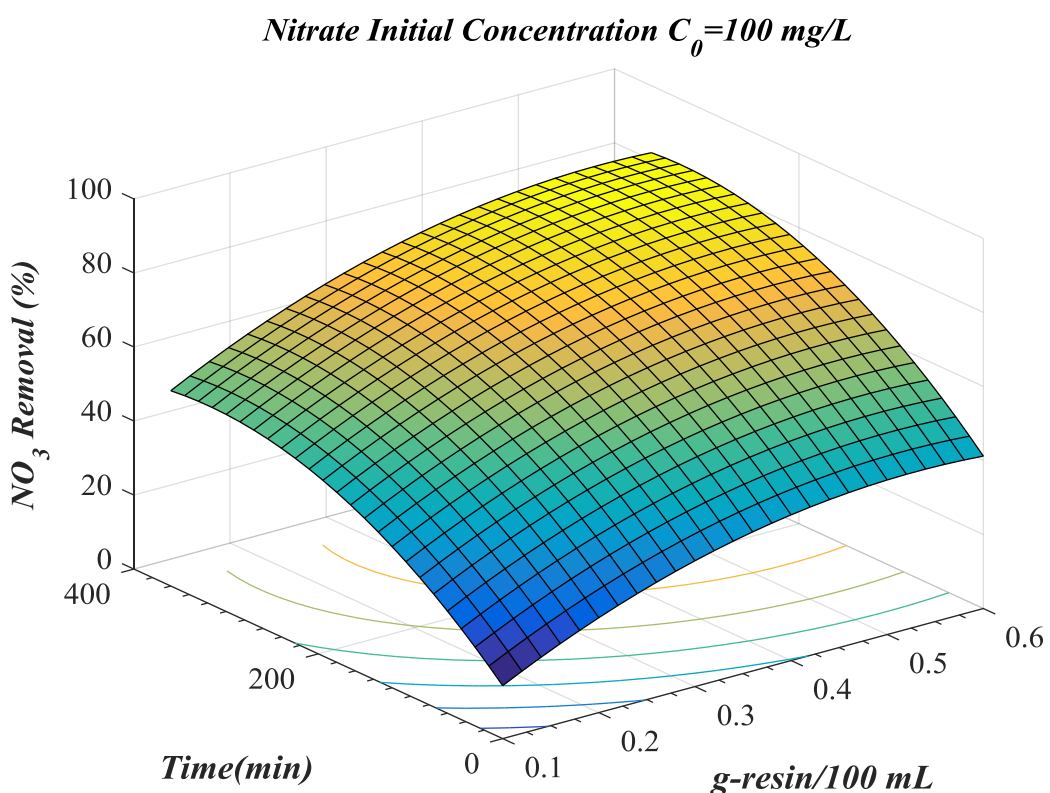
شکل (۴-۷) رویه درصد حذف بر حسب زمان تماس و مقدار رزین Relite A۴۹۰ برای غلظت نیترات اولیه ( $C_0 = 50 \text{ mg/L}$ )

- مطابق کانتور شکل (۶-۴) با افزایش غلظت رزین و زمان تماس، درصد حذف افزایش می یابد. مقدار درصد حذف بر روی منحنی های بیضوی نشان داده شده در شکل، عددی ثابت ( $30\% - 40\% - 50\% - 60\% - 70\% - 80\% - 90\%$ ) است. ناحیه ای که درصد حذف بالای ۹۰ درصد است در سمت راست بالای شکل نمایش داده شده است. این ناحیه به شکل یک بیضی کوچک است. به عبارت دیگر، در ناحیه محصور در داخل این بیضی مقدار درصد حذف بالای ۹۰٪ است و بیشترین مقدار درصد حذف ( نقطه بیضی ) مربوط به نقطه مرکز بیضی است که به ازای مدت زمان تماس ۳۴۰ دقیقه و غلظت رزین حدود  $0.57 \text{ g/mL}$  حاصل می شود.



شکل (۸-۴) کانتور درصد حذف بر حسب زمان تماس و مقدار رزین Relite A۴۹۰ برای غلظت نیترات اولیه ( $C_0 = ۵۰ \text{ mg/L}$ )

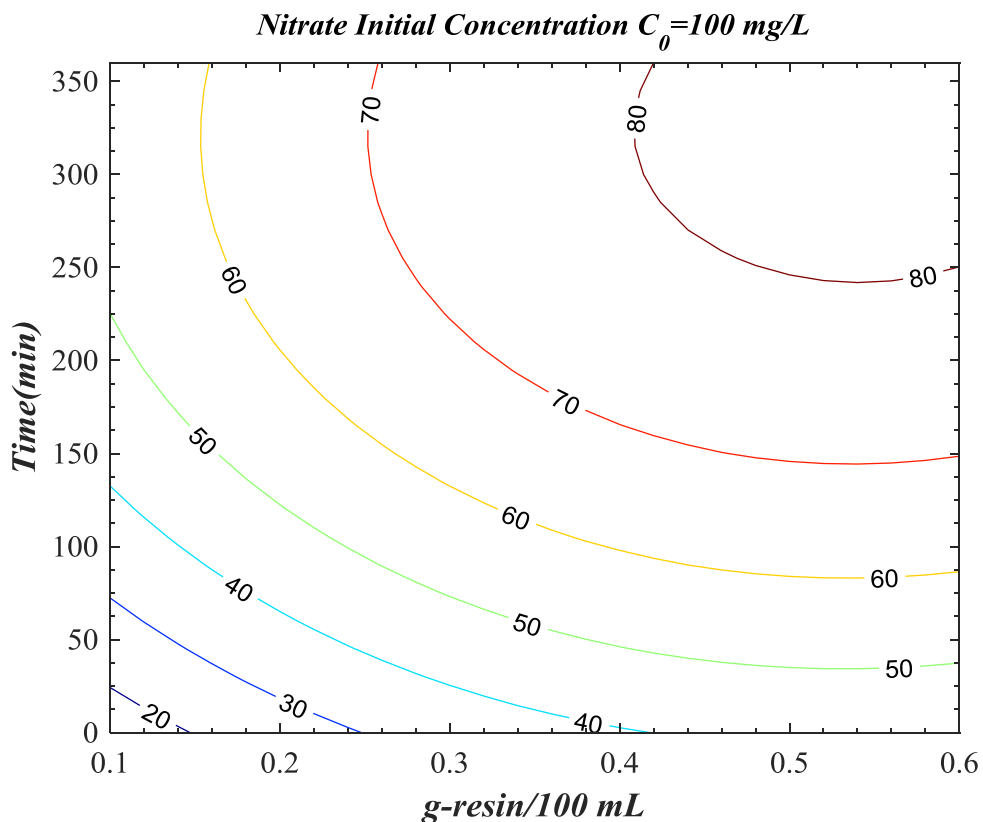
- مطابق رویه شکل (۹-۴) زمانیکه غلظت رزین  $100 \text{ g-resin/100 mL}$  است با افزایش مدت زمان از ۱۰ دقیقه تا ۳۶۰ دقیقه میزان درصد حذف  $49\%$  تا  $82\%$  افزایش می یابد.
- (غلظت اولیه نیترات:  $100 \text{ mg/L}$ ). مطابق شکل زمانیکه غلظت رزین  $100 \text{ g-resin/100 mL}$  است با افزایش مدت زمان از ۱۰ دقیقه تا ۳۶۰ دقیقه میزان درصد حذف  $40\%$  تا  $82\%$  افزایش می یابد مطابق نتایج زمانیکه که غلظت اولیه نیترات از  $C_0 = ۵۰ \text{ mg/L}$  به  $C_0 = ۱۰۰ \text{ mg/L}$  تغییر کرد میزان حداقل درصد حذف، از  $90\%$  به  $82\%$  کاهش یافت. (مقایسه شکل (۷-۴) و شکل (۹-۴))



شکل (۴-۹) رویه درصد حذف بر حسب زمان تماس و مقدار رزین Relite A۴۹۰ برای غلظت نیترات اولیه ( $C_0=100 \text{ mg/L}$ )

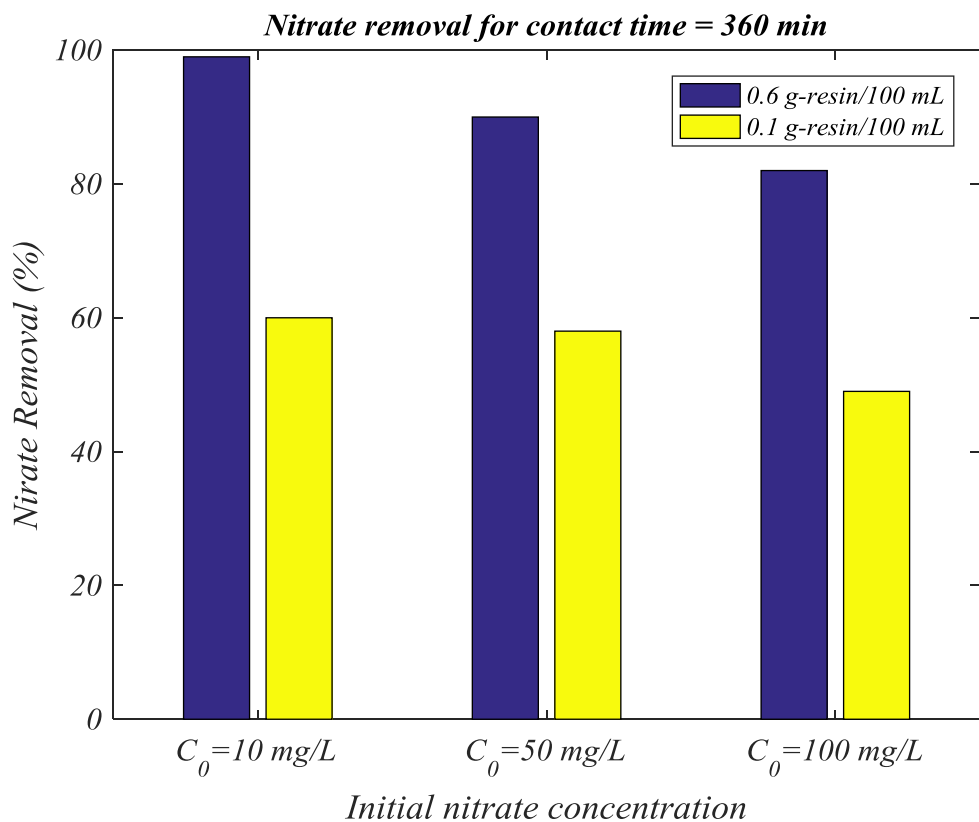
- مطابق کانتور شکل (۶-۴) با افزایش غلظت رزین و زمان تماس، درصد حذف افزایش می یابد. مقدار درصد حذف بر روی منحنی های بیضوی نشان داده شده در شکل، عددی ثابت ( $30\% - 40\% - 50\% - 60\% - 70\% - 80\%$ ) است. ناحیه ای که درصد حذف بالای ۸۰ درصد است در سمت راست بالای شکل نمایش داده است. این ناحیه به شکل یک بیضی ناقص است. به عبارت دیگر، در ناحیه محصور در داخل این بیضی مقدار درصد حذف بالای ۸۰ است. بر خلاف نمودارهای قبلی، کانتور درصد حذف  $90\%$  در این شکل وجود ندارد زیرا با افزایش غلظت اولیه نیترات به  $100 \text{ mg/L}$  مقدار درصد حذف بطور کلی کاهش می یابد و رزین اشیاع میگردد به گونه ای که فرآیند حذف بطور کامل انجام نمیشود.

لازم بذکر است مقدار حداقل درصد حذف مربوط به نقطه مرکز بیضی است که به ازای مدت زمان تماس  $330$  دقیقه و غلظت رزین حدود  $0.55 \text{ g-resin/100 mL}$  حاصل می شود.



شکل (۱۰-۴) کانتور درصد حذف بر حسب زمان تماس و مقدار رزین Relite A490 برای غلظت نیترات اولیه ( $C_0 = 100 \text{ mg/L}$ )

درصد حذف نیترات برای ۳ غلظت اولیه ( $C_0 = 100 \text{ mg/L}$ ,  $C_0 = 50 \text{ mg/L}$ ,  $C_0 = 10 \text{ mg/L}$ )، درصد حذف نیترات برای ۲ غلظت رزین رسم گردید. مطابق شکل با افزایش غلظت اولیه نیترات، درصد حذف نیترات کاهش می‌یابد. مقدار درصد حذف برای دوز رزین بالاتر، بیشتر است (در غلظت اولیه ۵۰ میلی گرم در لیتر درصد حذف برای دوز  $0.6 \text{ g-resin/100 mL}$  و  $0.1 \text{ g-resin/100 mL}$  به ترتیب ۹۰٪ و ۵۸٪ بدست آمد).



شکل (۱۱-۴) درصد حذف برای ۲ مقدار رزین Relite A۴۹۰ برای غلظت نیترات اولیه مختلف

## **فصل ٥: نتیجہ گیری**

## ۱-۵ - مقدمه

در این مطالعه حذف نیترات از محلول های آبی با دو رزین تبادل یونی، Duolite A7 و Relite A490 مورد بررسی قرار گرفته است نتایج مربوط به مدلسازی و بهینه سازی حذف نیترات به روش تبادل یونی به کمک رویه سطح پاسخ ارائه شد. جهت ساخت مدل چند جمله ای درجه ۲ بر داده های تجربی برآشش شد. سپس به کمک مدل چند جمله ای درجه ۲ شرایط بهینه حذف نیترات استخراج شد.

## ۲-۵ - جمع بندی

بطور خلاصه نتایج زیر در مطالعه حذف نیترات از محلول های آبی به روش تبادل یونی بدست آمد.

- آزمایشها برای ۶ زمان تماس مختلف (۱۰، ۳۰، ۶۰، ۱۲۰، ۲۴۰ و ۳۶۰ دقیقه) و ۶ غلظت رزین (۰.۱g-resin/۱۰۰mL تا ۰.۶g-resin/۱۰۰mL) انجام شد بیشترین بازده حذف نیترات پس از ۳۶۰ دقیقه به دست آمد و لیکن بعد از گذشت زمان ۲۰۰ دقیقه تغییرات محسوسی مشاهده نشد. بالاترین میزان جذب برای غلظت رزین ۰.۶g-resin/۱۰۰mL بدست آمد.
- با افزایش غلظت اولیه نیترات، راندمان حذف نیترات در هر دو رزین کاهش می یابد. کاهش راندمان فرآیند را می توان به محل های جذب نامناسب در سطوح رزین نسبت داد.
- رزین تبادل یونی، Relite A490 نسبت به Duolite A7 در شرایط یکسان عملکرد بهتری دارد و درصد حذف Relite A490 در حدود ۱۵ درصد بالاتر است.
- تکنیک آنالیز رگرسیونی چندگانه برای ارزیابی ضرایب مدل چندجمله ای درجه دوم بکار گرفته شد. مطابق نتایج دقت پیش بینی درصد حذف نیترات، به کمک مدل درجه دوم، مطلوب بوده و تطابق خوبی بین نتایج مدل درجه دوم و داده واقعی وجود دارد.
- مقدار خطای مطلق درصد حذف نیترات، برای ۵۱ داده در محدوده  $\pm 1.9\%$  است. و میزان متوسط قدر مطلق خطای کمتر از ۱٪ بدست آمد.
- از نتایج به دست آمده می توان نتیجه گرفت که با افزایش دوز رزین، راندمان حذف نیز

افزایش می یابد. با افزایش غلظت اولیه نیترات، ظرفیت جذب افزایش یافته در حالیکه راندمان حذف نیترات برای هر دو، Relite A<sub>490</sub> و Duo lite A<sub>7</sub> کاهش یافته است. داده ها به خوبی در مدل سیستیکی شبه مرتبه دوم با  $R^2 = 0.99$  و  $MSE = 0.0001$  مناسب شده است.

- ضریب رگرسیون مدل و متوسط مربعات خطابه ترتیب  $R = 0.993$  و  $MSE = 0.0001$  بدست آمد. مطابق این دو شاخص مدل پیشنهاد شده درجه ۲ جهت پیش بینی درصد حذف نیترات از دقت مناسبی برخودار است.
- زمانیکه غلظت رزین  $g\text{-resin}/100 \text{ mL}$  ۰.۱ است با افزایش مدت زمان از ۱۰ دقیقه تا ۳۶۰ دقیقه میزان درصد حذف ۶۰٪ تا ۷۰٪ افزایش می یابد. (غلظت اولیه نیترات:  $10 \text{ mg/L}$ ). همچنین مطابق نتایج، زمانیکه غلظت رزین  $g\text{-resin}/100 \text{ mL}$  ۰.۶ است با افزایش مدت زمان از ۱۰ دقیقه تا ۳۶۰ دقیقه میزان درصد حذف ۴۳٪ تا ۹۹٪ افزایش می یابد. زمانیکه که غلظت رزین  $g\text{-resin}/100 \text{ mL}$  ۰.۱ است بعد از ۲۰۰ دقیقه، عملادار صد حذف نیترات تغیر چندانی ندارد.
- با افزایش غلظت اولیه نیترات، درصد حذف نیترات کاهش می یابد. مقدار درصد حذف برای دوز رزین بالاتر، بیشتر است (در غلظت اولیه ۵۰ میلی گرم در لیتر درصد حذف برای دوز  $g\text{-resin}/100 \text{ mL}$  ۰.۶ و  $g\text{-resin}/100 \text{ mL}$  ۰.۱ به ترتیب ۹۰٪ و ۵۸٪ بدست آمد).

### ۳-۵- پیشنهادات

- جهت تکمیل و ادامه این پژوهش پیشنهادات زیر ارائه می گردد.
- اضافه کردن متغیر دما و PH به عنوان متغیرهای ورودی مدلسازی و بررسی اثر هر کدام بر میزان حذف نیترات
  - افزایش تعداد نمونه های تجربی جمع آوری شده از آزمایشگاه جهت بالا بردن دقت پیش بینی در آب های زیر زمینی علاوه بر نیترات مقادیری از یونهای رقیب مانند سولفات وجود دارد که سبب اشیاع شدن رزین شده و عملکرد جذب یون نیترات را تحت تاثیر قرار می دهد.
  - استفاده از تکنیک های هوش مصنوعی به جای مدل رویه سطح پاسخ مانند تکنیک بردار پشتیبان ماشین و شبکه عصبی
  - استفاده از ستون های پیوسته تبادل یونی به جای ستون نا پیوسته (batch) و تکرار آزمایشات و مدلسازی

- ارائه یک مدل عددی بر اساس فرآیند جذب نیترات ، انتقال جرم و سیستیک واکنش و سپس گستته سازی معادلات و حل آن و اعتبار سنجی مدل
- استخراج شرایط بهینه ی فرآیندی حذف نیترات با ساخت یک مدل داده محور بر اساس داده های آزمایشگاهی و سپس بهینه کردن مدل به کمک الگوریتم ژنتیک

## مراجع

## مراجع

- ۱ Kalaruban, M., Loganathan, P., Shim, W.G., Kandasamy, J., Ngo, H.H., Vigneswaran, S. (۲۰۱۶): Enhanced removal of nitrate from water using amine-grafted agricultural wastes. *Sci. Tot. Environ.* ۵۶۵, ۵۰۳-۵۱۰.
- [۲] S. Samatya, N. Kabay, U. Yuksel, M. Arda, M. Yuksel, Removal of nitrate from aqueous solution by nitrate selective ion exchange resins, *React. Funct. Polym.* ۶۶ (۲۰۰۶) ۱۲۰-۶-۱۲۱۴.
- [۳] B.U. Bae, Y.H. Jung, W.W. Han, H.S. Shin, Improved brine recycling during nitrate removal using ion exchange, *Water Res.* ۴۶ (۲۰۰۲) ۳۳۳۰-۳۳۴۰.
- [۴] S.N. Milimile, J.V. Pande, S. Karmakar, A. Banswal, T. Chakrabarti, R.B. Biniwale, Equilibrium isotherm and kinetic modeling of the adsorption of nitrates by anion exchange Indion NSSR resin, *Desalination* ۲۷۶ (۲۰۱۱) ۳۸-۴۴.
- [۵] V.S. Soldatov, V.I. Sokolova, G.V. Medyak, A.A. Shunkevich, Z.I. Akulich, Binary ion exchange equilibria in systems containing  $\text{NO}_3^-$ ,  $\text{Cl}^-$  and  $\text{SO}_4^{2-}$  on fibrous anion exchangers with tetraalkylammomium groups, *React. Funct. Polym.* ۶۷ (۲۰۰۷) ۱۵۳۰-۱۵۳۹.
- [۶] J.P. Hoek, W.F. Hoek, A. Klapwijk, Nitrate removal from ground water — use of a nitrate selective resin and a low concentrated regenerant, *Water Air Soil Pollut.* ۳۷ (۱۹۸۸) ۴۱-۵۳.
- ۷ شهبازی، پیمان، ۱۳۸۳. پایان نامه کارشناسی ارشد، بررسی امکان حذف نیترات از آب با استفاده از رزین تبادل یونی و احیا سیستم SBA
- ۸ هاشمی، سید حسین ، ۱۳۷۶، نیترات زدایی آب آشامیدنی به روش تبادل یونی و رآکتور بیولوژیکی با بستر پر شده،
- ۹ گلزار ناصر، ۱۳۷۳ سمینار بهداشت آب آشامیدنی اردبیل، نیترات زدایی از آب آشامیدنی شهر مشهد.
- Malaeb, L. and Ayoub, G.M., ۲۰۱۱. Reverse osmosis technology for water treatment: ۱۰ state of the art review. *Desalination*, ۲۶۷(۱), pp.۱-۸
- [۱۱] Mendow, G., A. Sánchez, C. Grossó, and C. A. Querini. "A novel process for nitrate reduction in water using bimetallic Pd-Cu catalysts supported on ion exchange resin." *Journal of Environmental Chemical Engineering* ۵, no. ۲ (۲۰۱۷): ۱۴۰۴-۱۴۱۴
- [۱۲] Bao, Zunsheng, Qing Hu, Weikang Qi, Yang Tang, Wei Wang, Pingyu Wan, Jingbo Chao, and Xiao Jin Yang. "Nitrate reduction in water by aluminum alloys particles." *Journal of Environmental Management* ۱۹۶ (۲۰۱۷): ۶۶۶-۶۷۳.

[۱۳] پرستار، سعید و ناصری، سیمین و محوی، امیر حسین و غلامی، میترا و جوادی، امیر حسین و همتی برجی، سعیده، محیط، شماره ۴. پاییز ۹۱ صفحات ۴۳۹-۴۵۰

[۱۴] محجوی، ع؛ تجربی، م.، «مقایسه عملکرد الگوریتم های شبکه عصبی مصنوعی و درختان تصمیم گیری در پیش‌بینی تغییرات شوری آب رودخانه‌ها - مطالعه موردی: رودخانه کارون». چهارمین همایش و نمایشگاه تخصصی مهندسی محیط زیست، تهران-آبان ماه، ۱۳۸۹.

[۱۵] تکلیفی، آ.، «استفاده از روش شبکه عصبی مصنوعی در پیش‌بینی مقادیر TDS بر رودخانه تلخه رود». پایان نامه کارشناسی ارشد مهندسی عمران گرایش محیط زیست، دانشگاه تربیت معلم تهران. دی ماه، ۱۳۸۷.

[۱۶] کنعانی، ش.، «تخمین مقادیر شوری حوضه آبریز رودخانه‌ها به روش شبکه عصبی مصنوعی مطالعه موردی: حوضه‌ی آبریز رودخانه آجی‌چای». پایان نامه کارشناسی ارشد مهندسی عمران، دانشگاه تربیت معلم تهران، کرج، تیرماه، ۱۳۸۶.

[۱۷] Asadollahfardi, G., A. Taklify & A. Ghanbari. "Application of artificial neural network to predict TDS in Talkheh Rud River". Journal of Irrigation and Drainage Engineering. ASCE, Vol. ۱۳۸, No. ۴, ۳۶۳-۳۷۰, (۲۰۱۲).

[۱۸] Sarani, N., J. Soltani & A. Moasher. "Comparison of Artificial Neural Network and Multivariate Linear Regression Model to Predict Sodium adsorption ratio (SAR) (Case Study: Sistan River, Iran)". International Conference on Chemical, Ecology and Environmental Sciences(ICEES'۲۰۱۲) march ۱۷-۱۸, Bangkok, (۲۰۱۲).

[۱۹] صفوی، ح. ر، «پیش‌بینی کیفی رودخانه‌ها با استفاده از سیستم استنتاج فازی- عصبی تطبیقی». محیط‌شناسی، دوره: ۳۶، شماره: ۱، ۱۳۸۹.

[۲۰] Kanani, S., G. Asadollahfardi & A. Ghanbari. "Application of Artificial Neural Network to Predict Total Dissolved Solid in Achechay River Basin". World Applied Sciences Journal ۴ (۵) : ۶۴۶-۶۵۴, (۲۰۰۸).

[۲۱] Zare, A.H., Bayat, V.M., and Daneshkare, A.P., "Forecasting nitrate concentration in groundwater using artificial neural network and linear regression models". Int. Agrophys. ۲۵, ۱۸۷-۱۹۲, (۲۰۱۱).

[۲۲] Kabsch, K.M., M.Kutylowska. "use of artificial intelligence in predicting the turbidity retention coefficient during ultrafiltration of water". Environment Protection Engineering, Vol۳۷, No. ۲, (۲۰۱۱).

[۲۳] نوشادی، م. و همکاران، «شبیه‌سازی و پیش‌بینی کلسیم، منیزیم، سدیم، پتاسیم، سولفات در رودخانه زاینده رود با استفاده از شبکه‌های عصبی مصنوعی». چهارمین همایش ملی علوم و مهندسی آبخیزداری ایران مدیریت حوزه‌های آبخیز، دانشکده منابع طبیعی دانشگاه تهران، کرج، ۱۳۸۶.

[۲۴] Huang, W., Foo, S., "Neural network modeling of salinity variation in Apalachicola River". water research, Elsevier, (۲۰۰۲).

[۲۵] کریمی کردستانی، ج.، «بررسی ضرورت اندازه‌گیری مستمر غاظت نیترات در آزمایشگاه‌های مطالعات منابع آب کشور». شرکت سهامی آب منطقه‌ای کردستان کمیته تحقیقات، سازمان مجری: معاونت پژوهشی دانشگاه کردستان، کدپروژه: ۳۰۰۸۶-KRE-۳۰۰۸.

[۲۶] Deguim, A. et al.; ۱۹۹۲; Nitrate removal by ion exchange with nitrocycl process, water supply, vol. ۱۴, (۱۶۱-۱۷۲).

[۲۷] Samatya, S., Kabay, N., Yüksel, Ü., Arda, M., Yüksel, M. (۲۰۰۶): Removal of nitrate from aqueous solution by nitrate selective ion exchange resins. *React. Funct. Polym.* ۶۶, ۱۲۰-۱۲۱۴.

[۲۸] Xu, X., Gao, B.Y., Yue, Q.-Y., Zhong, Q.-Q., Zhan, X. (۲۰۱۰): Preparation, characterization of wheat residue based anion exchangers and its utilization for the phosphate removal from aqueous solution. *Carb. Polym.* ۸۲, ۱۲۱۲-۱۲۱۸.

[۲۹] Orlando, U.S., Baes, A.U., Nishijima, W. (۲۰۰۲): Preparation of agricultural residue anion exchangers and its maximum nitrate adsorption capacity. *Chemosphere* 48, 1041-1046.

[۳۰] Chabani M., Amrane A., Bensmaili A. (۲۰۰۶): Kinetic modelling of the adsorption of nitrates by ion exchange resin. *Chem. Eng. J.* 125, 111-117

**پیوست**

## پیوست ۱: ارزیابی مدل‌ها و پارامترها و نمودارهای آماری

### میانگین مربعات خطأ

میانگین مربعات خطأ<sup>۱</sup> یکی از مشخصه‌های پراکندگی می‌باشد و برتری این شاخص نسبت به دیگر شاخص‌های آماری یکسان بودن واحد آن با واحد متغیر مدل‌سازی است. مقایسه پراکندگی دو متغیر که واحدهای مختلفی دارند با این مشخصه امکان‌پذیر نیست.

$$MSE = \frac{\sum_{i=1}^n (EC_i(measured) - EC_i(predicted))^2}{n}$$

مقدار واقعی متغیر وابسته و  $EC_i(measured)$  مقدار پیش‌بینی شده آن و n تعداد این متغیر می‌باشد. مقدار کمتر این آماره نشان دهنده عملکرد بهتر مدل می‌باشد [۵۱].

### میانگین درصد خطای مطلق

$$\%MAPE = \frac{\sum_{i=1}^n \left| \frac{EC_i(measured) - EC_i(predicted)}{EC_i(measured)} \right|}{n} \times 100\%$$

مقدار کمتر میانگین درصد خطای مطلق<sup>۲</sup> نشان دهنده عملکرد بهتر مدل می‌باشد [۱۴].

### ضریب کارایی شبکه

ضریب تبیین<sup>۳</sup> (E) یا ضریب کارایی شبکه به طور گستردگی در مدل‌های کاربردی مهندسی آب و هیدرولوژی مورد استفاده قرار گرفته است. [۱۹۷۰] Nash and Sutcliffe ضریبی، که از هر مقدار منفی تا ۱ را در بر می‌گیرد معرفی کردند، مقدار هرچه بیشتر این آماره نشان دهنده موفقیت بیشتر مدل می‌باشد [۴۸].

$$E = R^2 = 1 - \left[ \frac{(variance\ residual)}{(data\ variance)} \right] = 1 - \left[ \frac{\sum_{i=1}^n (EC_i(measured) - EC_i(predicted))^2}{\sum_{i=1}^n (EC_i(measured) - \bar{EC}_i(measured))^2} \right]$$

میانگین خطای مطلق<sup>۴</sup>

$$MAE = \frac{\sum_{i=1}^n |EC_i(measured) - EC_i(predicted)|}{n}$$

### مجذور ضریب همبستگی

شاخصی است که به منظور تعیین نوع همبستگی و میزان درجه رابطه خطی، بین مقادیر پیش‌بینی و

<sup>۱</sup> Root Mean Square Error = RMSE

<sup>۲</sup> Mean Absolute Percentage Error = Mean Absolute Percentage Deviation = MAPE

<sup>۳</sup> Coefficient of Efficiency = Coefficient of determination = E = R<sup>2</sup>

<sup>۴</sup> Mean Absolute Error = MAE

مقادیر واقعی به کار می‌رود. مقدار آن در بازه [۱,۱] تغییر می‌کند. چنانچه این مقدار برابر یک باشد نشانگر وجود همبستگی کامل و مستقیم بین متغیرهای مورد بررسی است و اگر برابر منفی یک باشد بیانگر وجود همبستگی کامل ولی معکوس بین متغیرهاست. صفر بودن مقدار این آماره به مفهوم عدم همبستگی بین متغیر مستقل و وابسته می‌باشد. مجدول ضریب همبستگی<sup>۱</sup> از رابطه زیر محاسبه می‌شود.

$$r^* = (\text{corrcoef})^* = \left( \frac{\sum_{i=1}^n (EC_i(\text{measured}) - \bar{EC}_i(\text{measured})) (EC_i(\text{predicted}) - \bar{EC}_i(\text{predicted}))}{\sqrt{\sum_{i=1}^n (EC_i(\text{measured}) - \bar{EC}_i(\text{measured}))^* \sum_{i=1}^n (EC_i(\text{predicted}) - \bar{EC}_i(\text{predicted}))^*}} \right)^*$$

---

<sup>۱</sup> squared correlation = (Correlation coefficient)<sup>2</sup> =  $r^2$

## **Abstract:**

Groundwater is the most common source of drinking water in many parts of the world. However, in the last few decades, there has been increasing concern about the quality of groundwater due to toxic contaminants such as nitrate, a highly soluble and stable ion in water. Therefore, methods such as adsorption, ion exchange, reverse osmosis and biological processing and some techniques are used to efficiently remove it from water. In this study, optimization of nitrate ion removal efficiency and efficiency was performed using response surface procedure. In other words, the percentage of nitrate removal as an output parameter was predicted by the model. For this purpose, the laboratory data were used to create the quadratic polynomial model. The experimental results were in good agreement with the model results with a correlation coefficient of .<sup>999</sup>

## **Keywords :**

Optimization - Ion exchange - Response surface procedure - Nitrate removal



**Energy Institute of Higher Education**

## **Thesis Title**

**Optimization of nitrate removal by ion exchange process using response  
surface procedure technique**  
**Thesis for Master's Degree**

**In the field of chemical engineering, health and environmental trends**

**By:**  
**Student Name**  
**Hamid reza farangi**

**Supervisor:**  
**Dr. Arezo qhaffari**

**Advisor:**  
**Dr. Heidar maddah**  
**Dr. Mohsen rezaie adriani**

**September ۲۰۱۹**